



Equações de Conservação

Angela O. Nieckele

Pontifícia Universidade Católica do Rio de Janeiro

Departamento de Engenharia Mecânica

DFC - Grupo de Dinâmica dos Fluidos Computacional

Objetivo

- Apresentação das equações de conservação para analisar escoamento multifásicos

Introdução

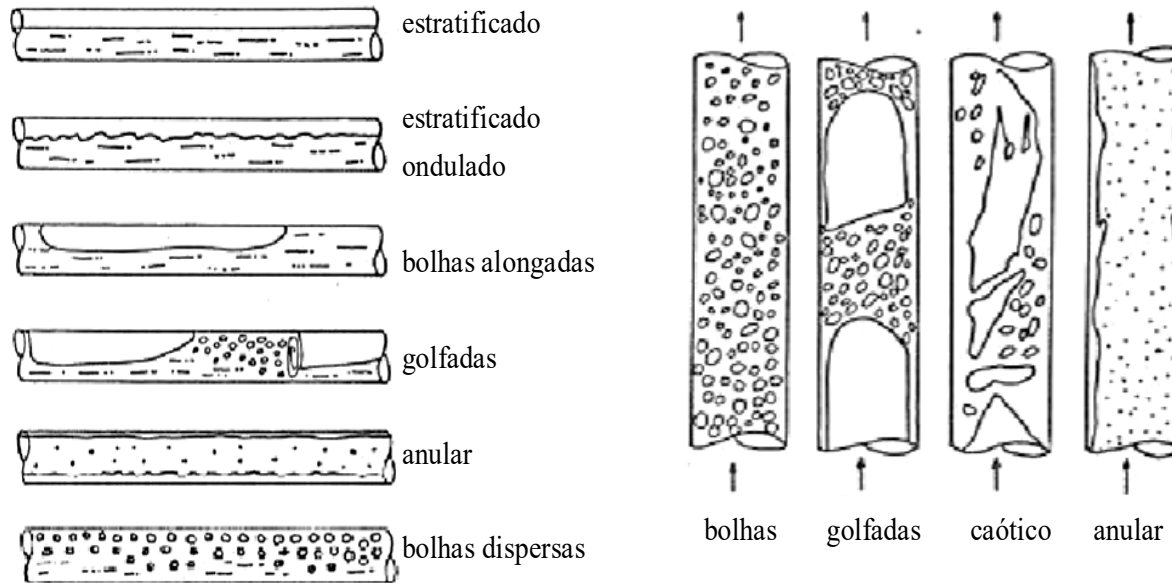
- Fases:
 - Sólida (partículas)
 - Líquido (uma ou mais imiscíveis)
 - Gás

- Escoamentos Bifásicos:
 - Gás/Líquido
 - Gás/Sólido
 - Líquido/Líquido

- Multifásico
 - Gás/Líquido/Líquido
 - Gás/Sólido/Líquido
 - Gás/Sólido/Líquido/Líquido

Introdução

- Classificados de acordo com a estrutura
 - Separados, misturados ou dispersos



Escoamento multifásicos são mais complexos de serem modelados do que escoamentos monofásicos, devido a estrutura complexa e desconhecida das interfaces

Introdução

- **Padrão de escoamento:** A importância em conhecer o padrão de escoamento é clara. É necessário para:
 - avaliar a transferência de calor, queda de pressão, etc.,
 - Realizar cálculos, visando determinar a condição de operação de equipamentos.
 - modelar o escoamento, pois dependendo do padrão, diferentes aproximações e consequentemente modelos podem ser mais apropriados

Introdução

■ ***Escoamento monofásico:***

- ❑ Leis de conservação: massa, quantidade de movimento e energia
- ❑ Condição de contorno: entrada, paredes, simetria e saída
- ❑ Classificado em laminar ou turbulento

■ ***Escoamento multifásico***

- ❑ Mesma leis de conservação que o escoamento monofásico
- ❑ Dificuldades:
 - Múltiplas interfaces, deformáveis, móveis e desconhecidas
 - Descontinuidade de propriedades
 - Campos complexos nas regiões de interface

Leis de Conservação para Escoamento Monofásico

□ Conservação de massa $\frac{\partial \rho}{\partial t} + \mathbf{div}(\rho \vec{u}) = 0$

□ Conservação de quantidade de movimento

$$\frac{\partial(\rho \mathbf{u})}{\partial t} + \nabla \cdot (\rho \mathbf{u} \mathbf{u}) = -\nabla p^r + \nabla \cdot (\mu [\nabla \mathbf{u} + (\nabla \mathbf{u})^T])$$

$$p^r = p - \rho \mathbf{g} \cdot \mathbf{x} - \frac{2}{3} \mu \nabla \cdot \mathbf{u}$$

□ Conservação de energia

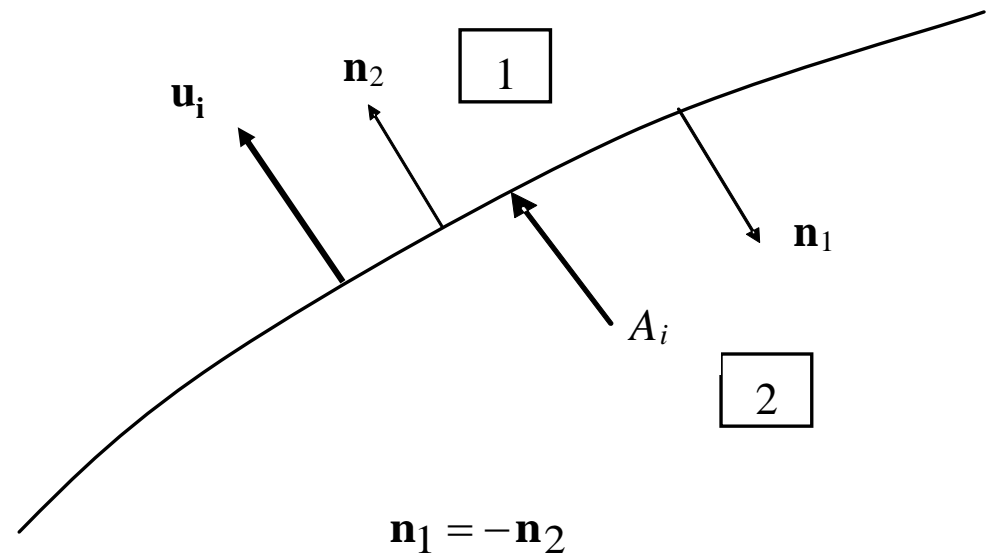
$$\frac{\partial(\rho h)}{\partial t} + \nabla \cdot (\rho h \mathbf{u}) = -\nabla \cdot \mathbf{q} + \frac{D p}{D t} + \boldsymbol{\tau} : \nabla \mathbf{u} + \dot{q}$$

$$\mathbf{q} = -k \nabla T \quad \frac{D(\quad)}{D t} = \frac{\partial(\quad)}{\partial t} + \mathbf{u} \cdot \nabla(\quad)$$

Leis de Conservação para Escoamento Multifásico

- Mesma leis de conservação que o escoamento monofásico

Balances Interfaciais

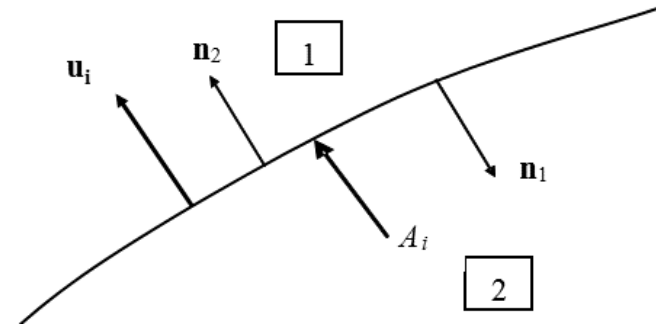


Balanços Interfaciais

Fluxo de massa interfacial

$$\dot{m}_k \equiv \rho_k \mathbf{n}_k \bullet (\mathbf{u}_k - \mathbf{u}_i)$$

$$\mathbf{u}_i = \mathbf{u}_{ni} + \mathbf{u}_{ti}$$



- \mathbf{u}_{ni} velocidade de deslocamento da interface $\mathbf{u}_{ni} = \mathbf{u}_i \bullet \mathbf{n}_k$

- Posição da interface $S(\mathbf{x}, t)$ $\mathbf{u}_{ni} = \mathbf{u}_i \bullet \mathbf{n}_k = -\frac{\partial S / \partial t}{|\nabla S|}$

Balanço de massa interfacial

$$\sum_{k=1}^2 \rho_k \mathbf{n}_k \bullet (\mathbf{u}_k - \mathbf{u}_i) = 0 \quad \text{ou} \quad \sum_{k=1}^2 \dot{m}_k = 0$$

Balanços Interfaciais

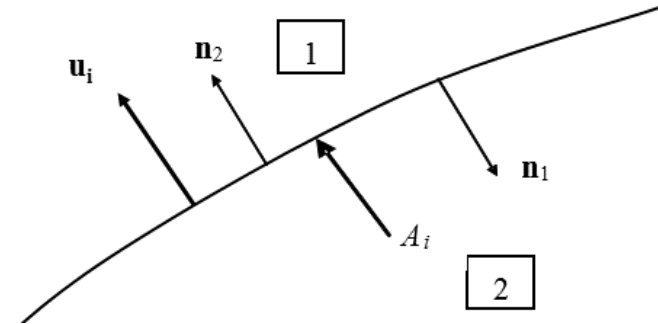
- Fluxo *momentum* interfacial

$$\mathbf{M}_k = \rho_k \mathbf{n}_k \bullet (\mathbf{u}_k - \mathbf{u}_i) \mathbf{u}_k - \mathbf{n}_k \bullet \boldsymbol{\sigma}_k$$

$$\dot{m}_k \equiv \rho_k \mathbf{n}_k \bullet (\mathbf{u}_k - \mathbf{u}_i)$$

$$\boldsymbol{\sigma}_k = -p_k \mathbf{I} + \boldsymbol{\tau}_k$$

$$\mathbf{M}_k = \dot{m}_k \mathbf{u}_k + \mathbf{n}_k \bullet (p_k \mathbf{I} - \boldsymbol{\tau}_k)$$



- Balanço de quantidade de movimento interfacial

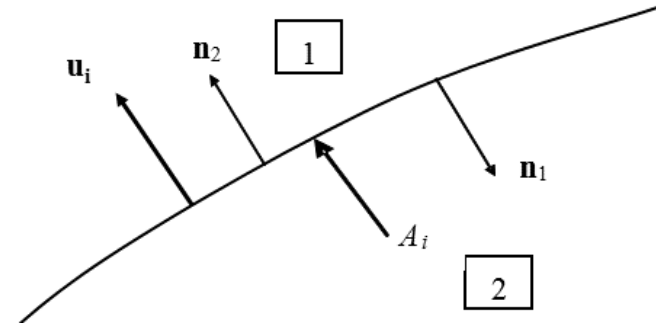
$$\sum_{k=1}^2 \mathbf{M}_k = \mathbf{M}_m$$

Balances Interfaciais

- Fonte de *momentum* de mistura

$$\mathbf{M}_m = 2 \kappa \gamma \mathbf{n} + \mathbf{M}_m^K$$

normal tangencial

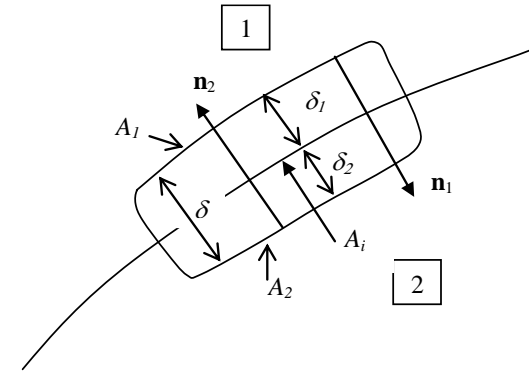


- Parcela normal representa o efeito líquido da curvatura da interface, onde κ é a curvatura média da superfície e γ é a tensão superficial.
- Parcela tangencial devido ao gradiente da tensão superficial.

Balances Interfaciais

■ Balanço de energia

- Energia interna por unidade de área interfacial:



$$i_a = \frac{1}{\delta} \int_{-\delta_2}^{\delta_1} i d\delta$$

$$\frac{\partial i_a}{\partial t} + i_a \nabla \cdot \mathbf{u}_i = \mathbf{M}_k \cdot \mathbf{u}_i + \sum_{k=1}^2 \left[\rho_k \mathbf{n}_k \cdot (\mathbf{u}_k - \mathbf{u}_i) \left(i_k + \frac{u_k^2}{2} \right) + \mathbf{n}_k \cdot (-\boldsymbol{\sigma}_k \cdot \mathbf{u}_k + \mathbf{q}_k) \right]$$

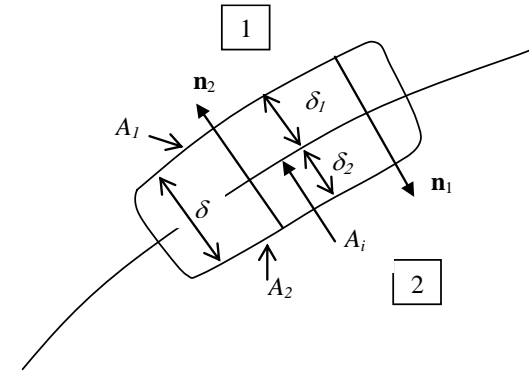
taxa de
variação da
energia da
superfície

trabalho
realizado pela
tensão
superficial

transferência de energia do fluido de
cada lado da interface

Balances Interfaciais

- Fluxo energia interfacial



$$E_k = \dot{m}_k \left(i_k + \frac{u_k^2}{2} \right) + \mathbf{n}_k \bullet \left[(p_k \mathbf{I} - \boldsymbol{\tau}_k) \bullet \mathbf{u}_k + \mathbf{q}_k \right]$$

- Balço de energia interfacial

$$\sum_{k=1}^2 E_k = E_m$$

- Fonte de energia de mistura: E_m

Escoamentos Multifásicos

- Formulação local e instantânea para escoamentos multifásicos é muito difícil

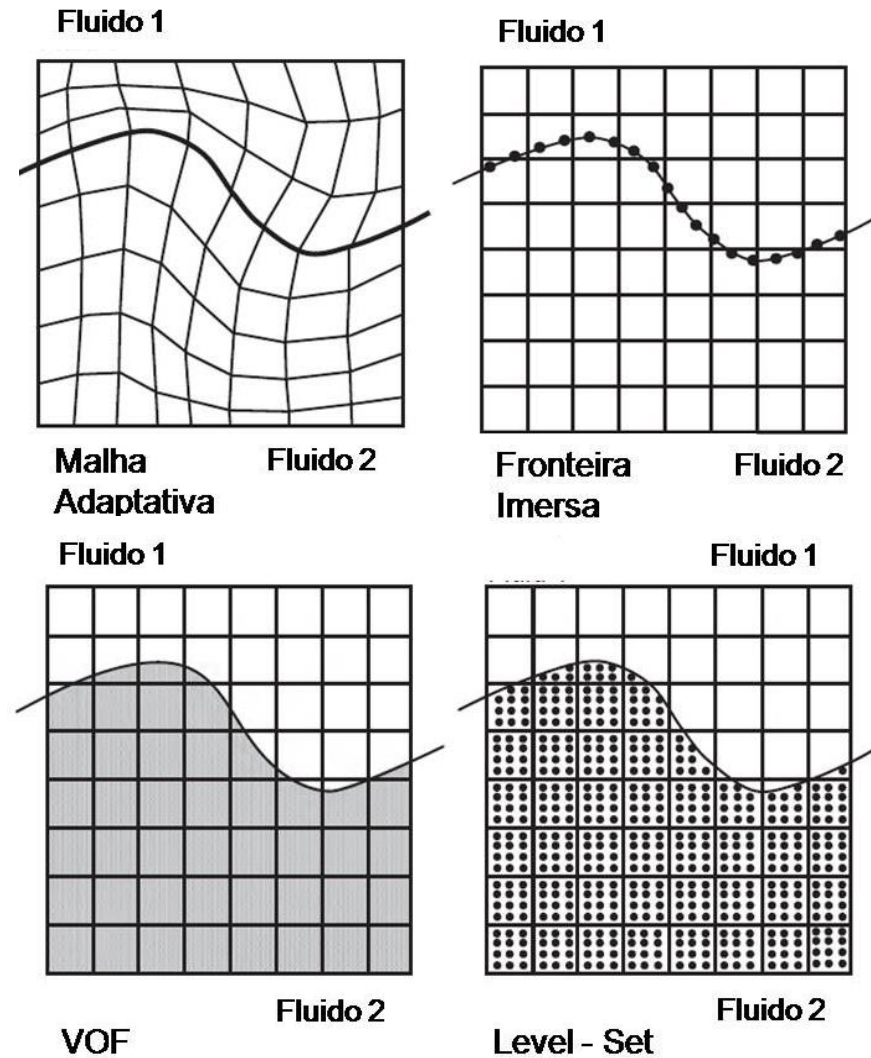
Classes de Modelos

- Modelos de “um fluido”: solução detalhada das equações de Navier Stokes
- Modelos de equações reduzidas, uso de grandezas médias

Modelos de “um fluido”

Modelos de “um fluido”

- solução detalhada das equações de Navier Stokes:
 - Malha Adaptativa
 - Fronteira Imersa
 - Volume of Fluid (VOF)
 - Level-Set

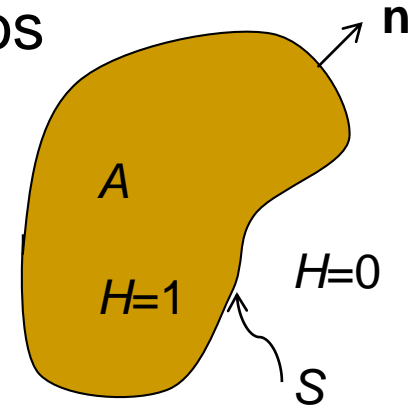


Modelos de “um fluido”

- Os diferentes fluidos podem ser identificados com a função degrau H (Heaviside).

Fluido 1: $H = 1$, Fluido 2: $H = 0$

$$H(x, y) = \int_A \delta(x - x') \delta(y - y') da'$$

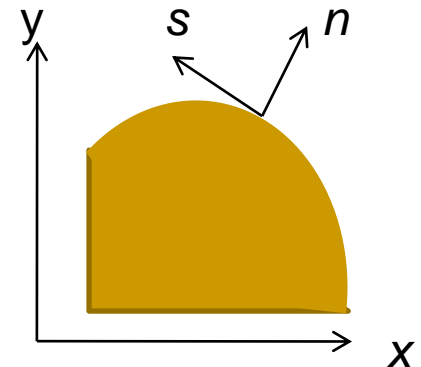


- O gradiente de H pode ser avaliado utilizando o teorema de divergência

$$\nabla H = - \int_{S(t)} \delta(x - x') \delta(x - x') \mathbf{n} ds'$$

- introduzindo coordenadas locais, tangente (s) e normal (n) à frente

$$\nabla H(x, y) = - \int_S \delta(s') \delta(n') \mathbf{n}' ds' = - \delta(n) \mathbf{n}$$



Modelos de “um fluido”: Tratamento das Propriedades

- Massa específica:

$$\rho(x, y) = \rho_1 H(x, y) + \rho_o [1 - H(x, y)]$$

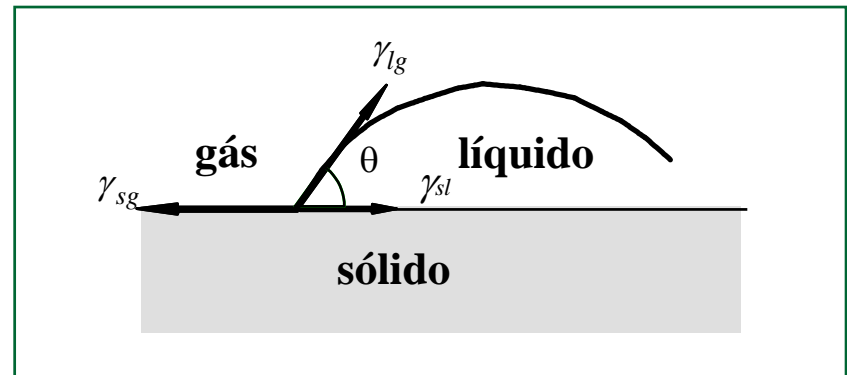
$$\nabla \rho(x, y) = (\rho_1 - \rho_o) \nabla H(x, y) = (\rho_1 - \rho_o) \delta(n) \mathbf{n}$$

- Equações análogas podem ser escritas para as outras propriedades, como viscosidade e propriedades termo-físicas

- Ângulo de contato

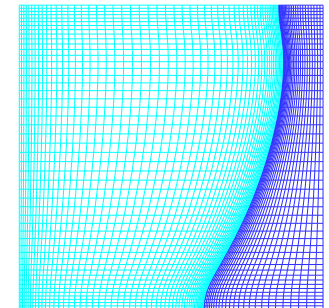
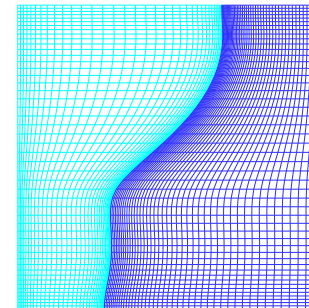
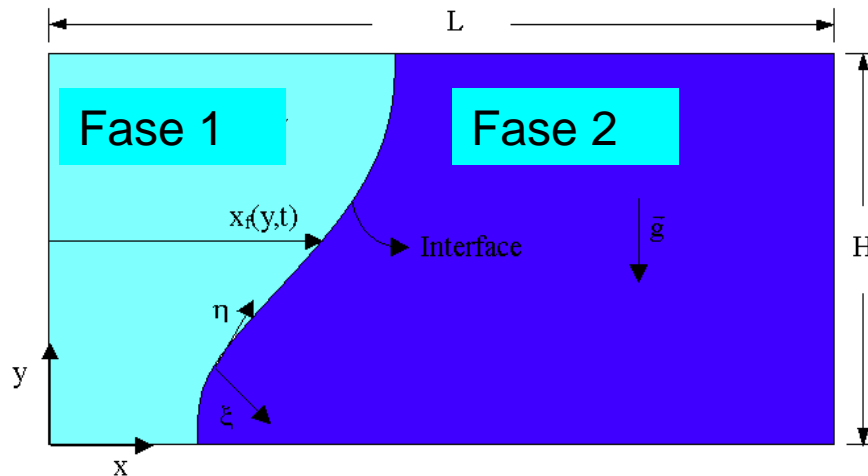
$$\theta = \arccos \left(\frac{\gamma_{sg} - \gamma_{sl}}{\gamma_{lg}} \right)$$

γ = tensão interfacial



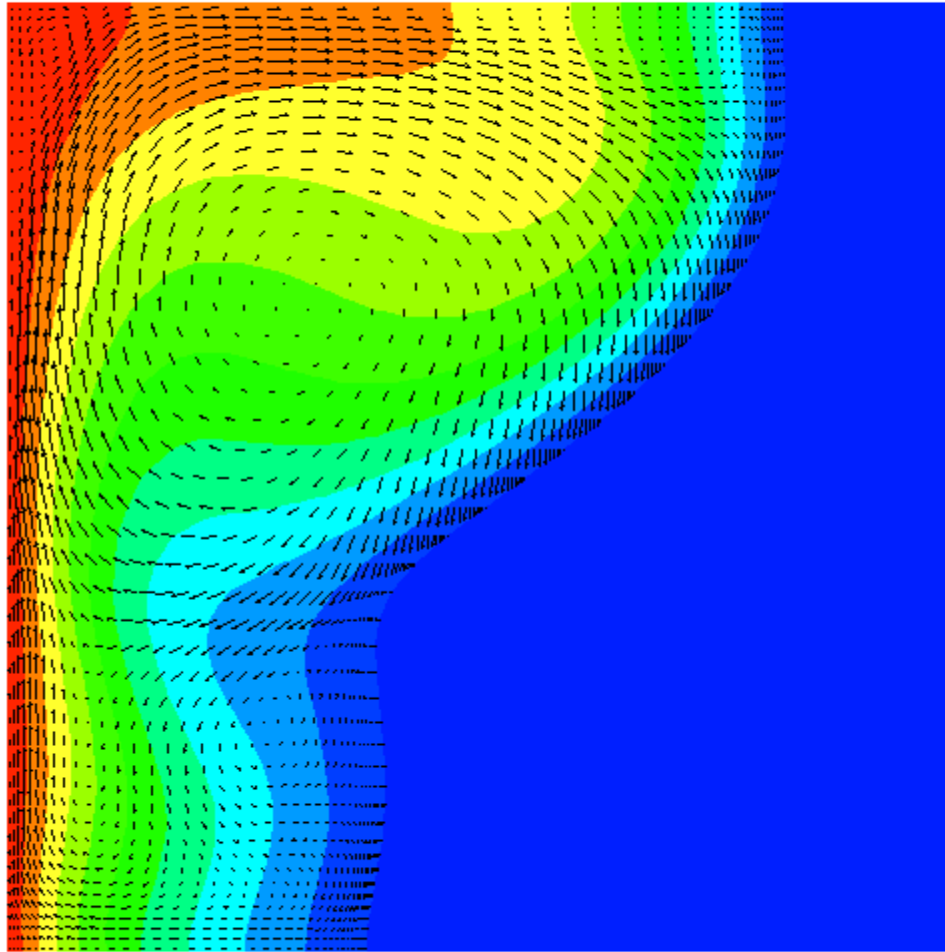
Malha Adaptativa

- Equações de conservação são escritas em um sistema de coordenadas curvilíneas móvel.
- Movimento da interface governado pelas condições de salto de massa, quantidade de movimento e energia na interface.



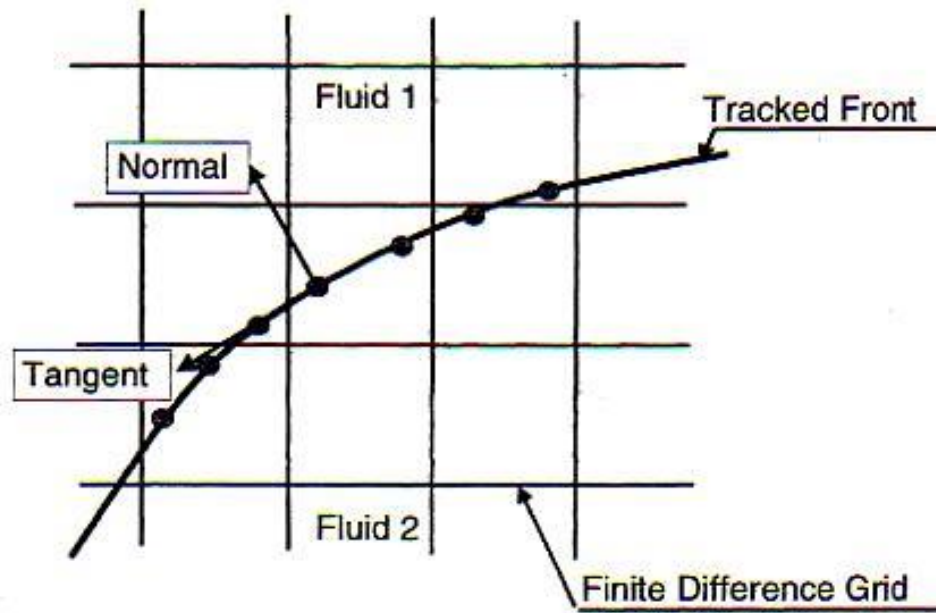
$$\frac{\partial(\rho \mathbf{u})}{\partial t} + \underbrace{\nabla \cdot (\rho \tilde{\mathbf{u}} \mathbf{u})}_{\tilde{\mathbf{u}} = \mathbf{u} - \mathbf{u}_{mesh}} = -\nabla p^r + \nabla \cdot (\mu [\nabla \mathbf{u} + (\nabla \mathbf{u})^T])$$

Malha Móvel – Fusão em uma cavidade



Método de Fronteira Imersa

- As equações de Navier-Stokes são resolvidas em uma malha fixa
- Uma frente móvel e deformável é usada para marcar a interface



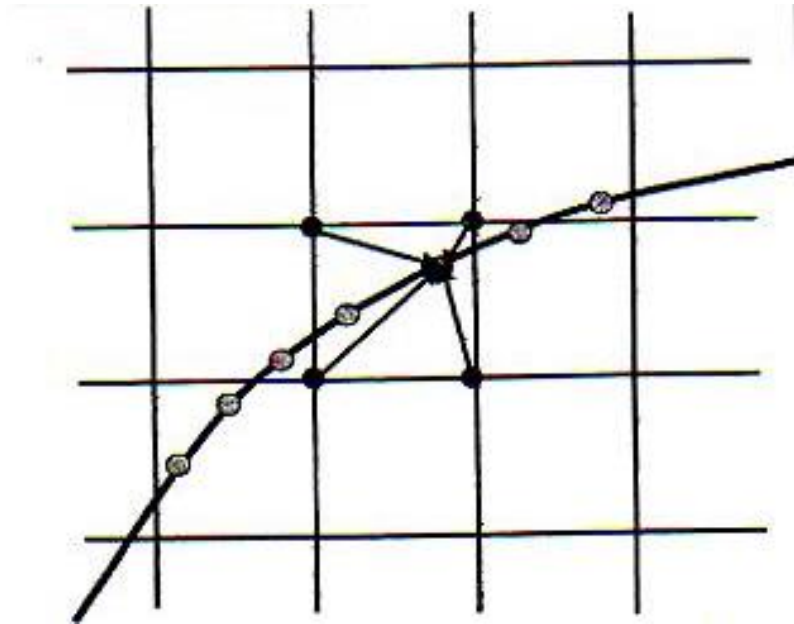
Conhecendo informações da frente, as direções normais e tangenciais são facilmente obtidas

Método de Fronteira Imersa

- Interpolando da malha
 - As velocidades da malha fixa são interpoladas para serem utilizadas na malha móvel

$$\phi_{ijk} = \sum \phi_{\ell} w_{ijk}$$

Os pesos w_{ijk} podem ser selecionados de diferentes formas



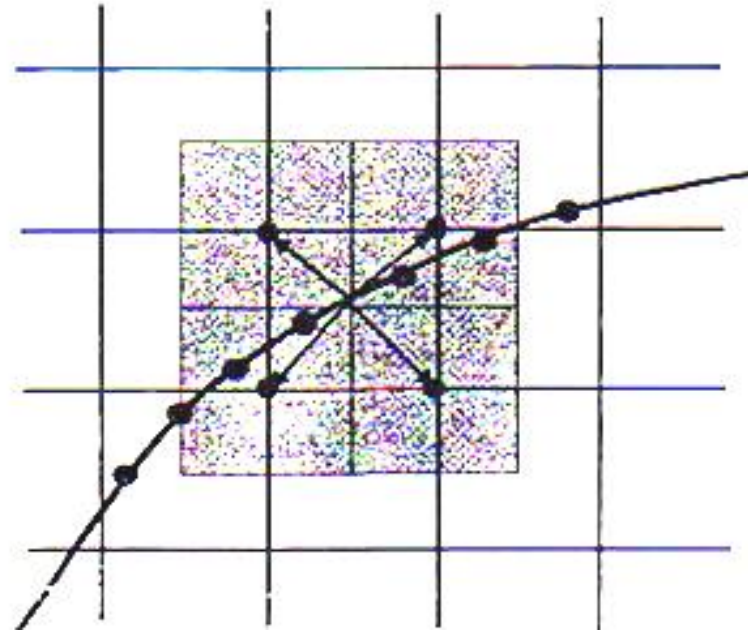
Método de Fronteira Imersa

- Aproximando os termos singulares
 - Os valores da frente são distribuídos na malha fixa

na frente: por comprimento

na malha: por volume

$$\phi_{ijk} = \sum \phi_{\ell} w_{ijk} \frac{\Delta S_{\ell}}{h^3}$$



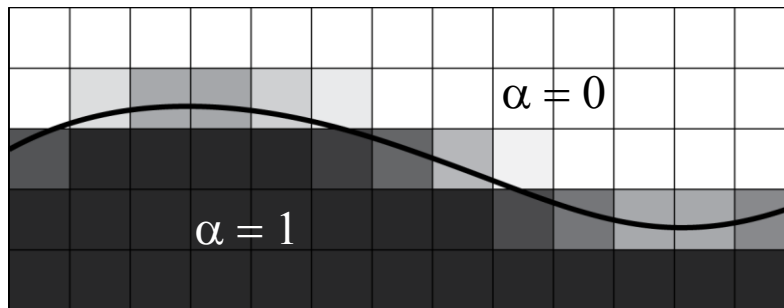
Métodos de Captura de Interface: VOF e Level-Set

- Função marcadora: C
 - **VOF**: *fração volumétrica de uma fase*
 - **Level-Set**: *distância à interface*
- Evolução da função marcadora

$$\frac{DC}{Dt} = 0 \Rightarrow \frac{\partial C}{\partial t} + \mathbf{u} \cdot \nabla C = 0$$

VOF

- Função marcadora:
 - *fração volumétrica de uma fase*

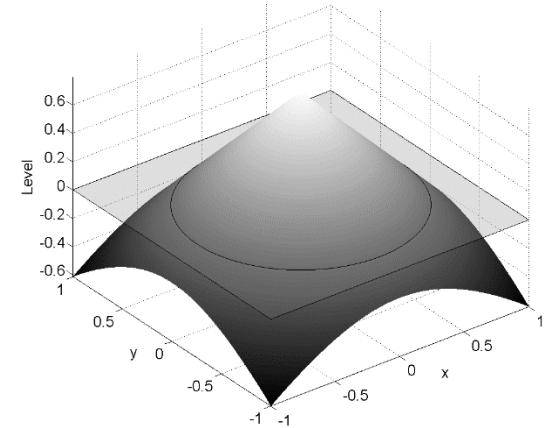
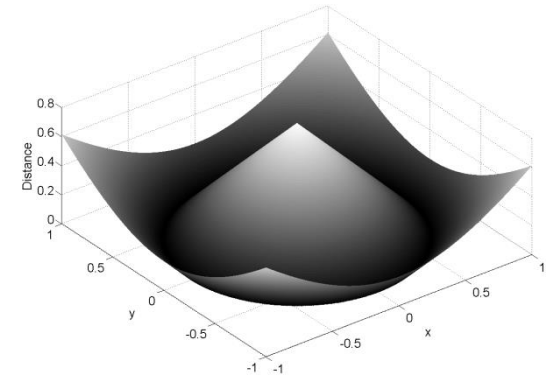
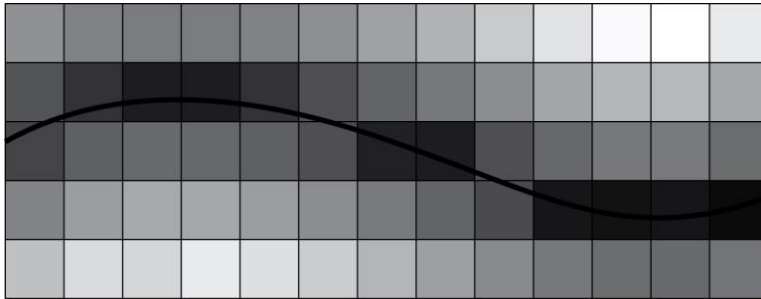


Phase 1 $\alpha = 1$
Phase 2 $\alpha = 0$
interface $\alpha \in (0,1)$

- *Excelente em satisfazer a conservação de massa.*
- *Dificuldades com falsa difusão.*

Level-Set

- Função marcadora:
 - *Função Distância com Sinal*



- *O campo distância é suave ao longo de todo o domínio, inclusive ao redor das interfaces.*
- *Problemas em satisfazer conservação de massa.*

Modelos de “um fluido”

- Equações de conservação:

- Conservação de Massa: $\frac{\partial \rho}{\partial t} + \nabla \cdot (\rho \mathbf{u}) = 0$

- Conservação de Quantidade de Movimento Linear

$$\frac{\partial(\rho \mathbf{u})}{\partial t} + \nabla \cdot (\rho \mathbf{u} \mathbf{u}) = -\nabla p^r + \nabla \cdot (\mu [\nabla \mathbf{u} + (\nabla \mathbf{u})^T]) + \gamma \kappa \delta(n) \mathbf{n}$$

$$p^r = p - \rho \mathbf{g} \cdot \mathbf{x} - \frac{2}{3} \mu \nabla \cdot \mathbf{u}$$

$$\kappa = \nabla \cdot \mathbf{n}$$

κ = raio de curvatura

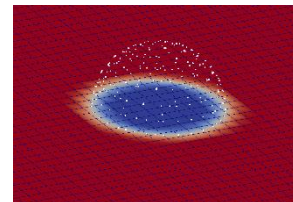
γ = tensão interfacial

Estimativa da Curvatura

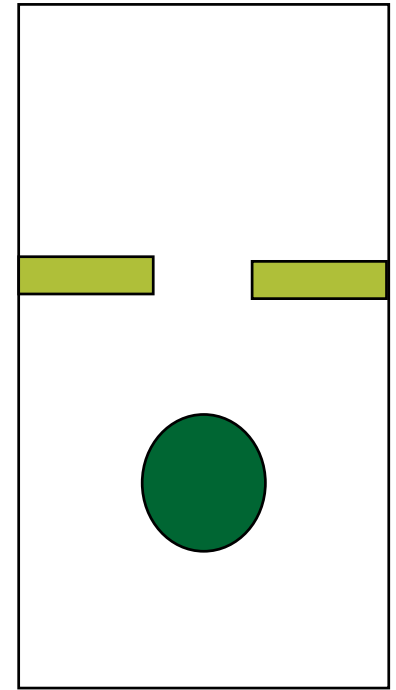
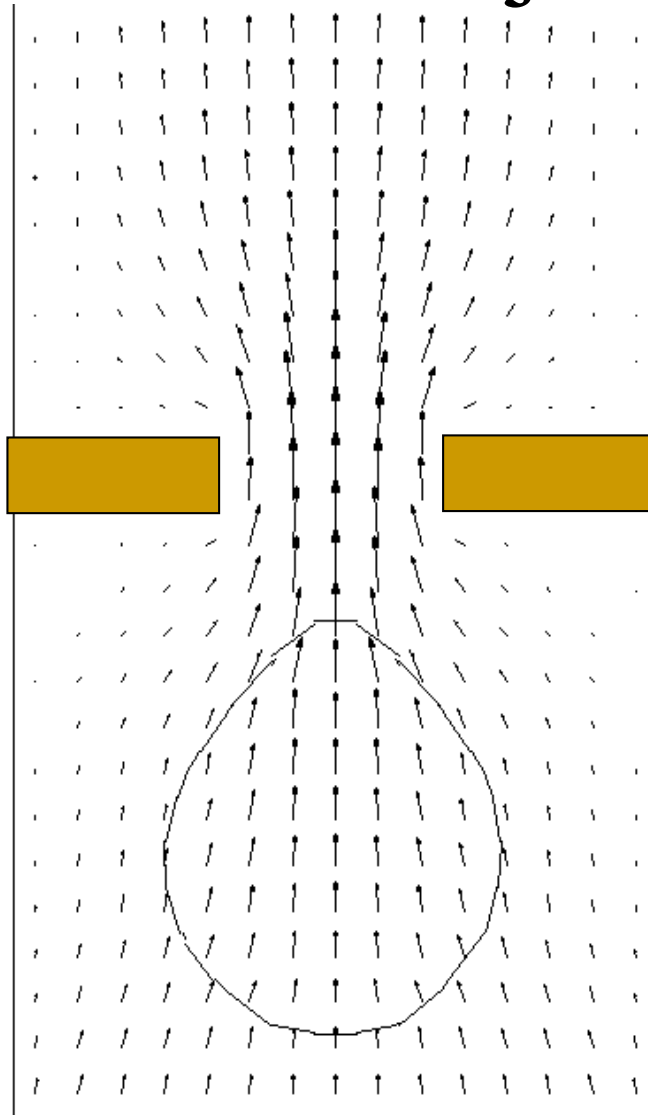
- CSF (Continuous Surface Force)

$$\kappa = \nabla \cdot \left(\frac{\nabla \alpha}{|\nabla \alpha|} \right) \quad \gamma \kappa \delta(n) \mathbf{n} = \gamma \nabla \cdot \left(\frac{\nabla \alpha}{|\nabla \alpha|} \right) \nabla \alpha$$

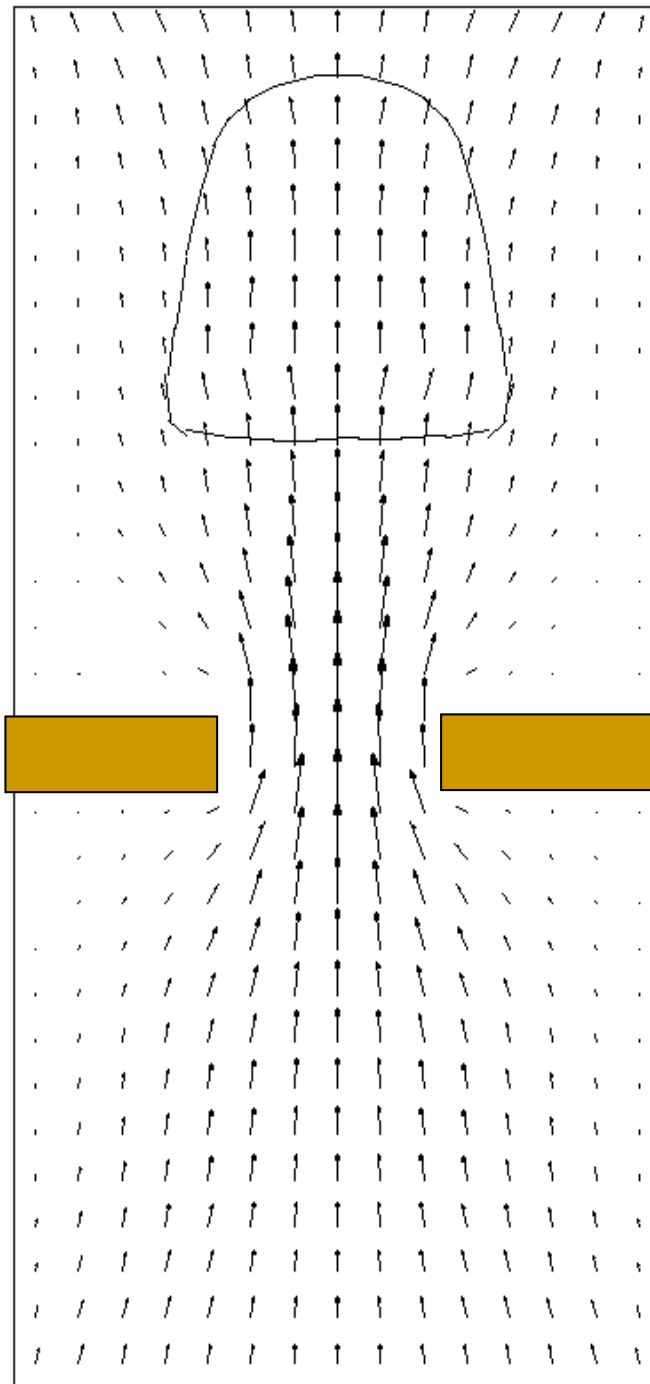
- Level-Set / VOF acoplamento
- Height-Function
- Reconstructed Distance Function (RDF)
- Kernels suavizado no VOF field
- Campo de VOF ajustado com superfícies em intervalos quadráticos
- Point-cloud VOF



Movimento ascendente de uma bolha através de uma restrição



(Melo e Nieckele, 1995)



(Melo e Nieckele, 1995)

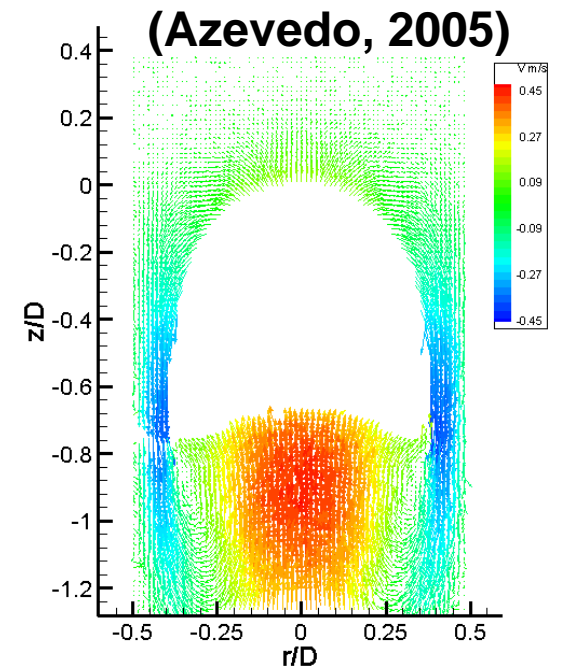
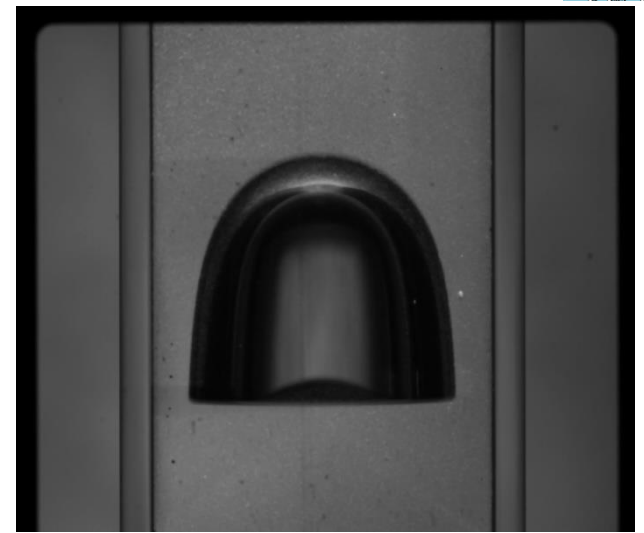
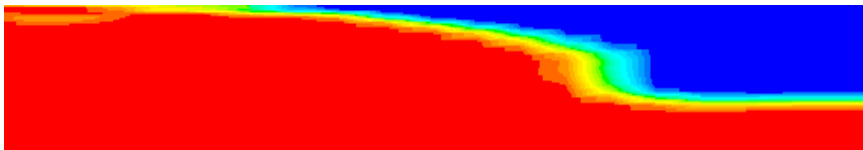


Imagem de uma bolha de Taylor e campo de velocidade com PIV

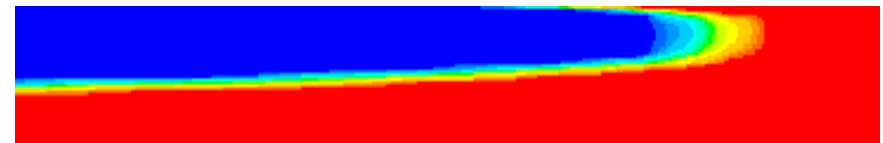
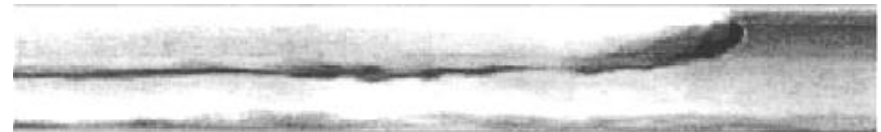
Formação de Golfada

- Escoamento água/ar em uma tubulação com 2 in de diâmetro
 - solução numérica com VOF (Febres, 2009)
 - experimental (Fagundes Netto, 1999)

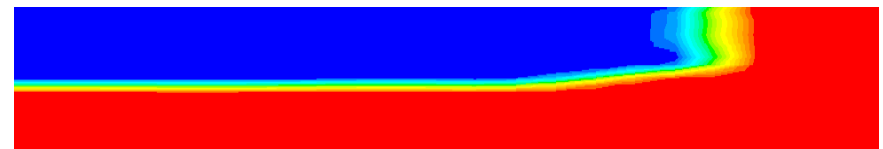
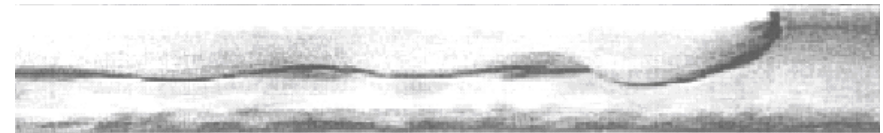
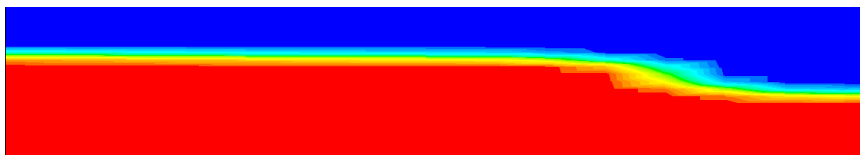
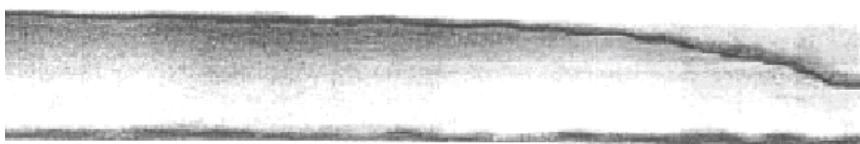
Calda da golfada



Nariz da golfada



$$U_m = 1,8 \text{ m/s}$$



$$U_m = 0,6 \text{ m/s}$$

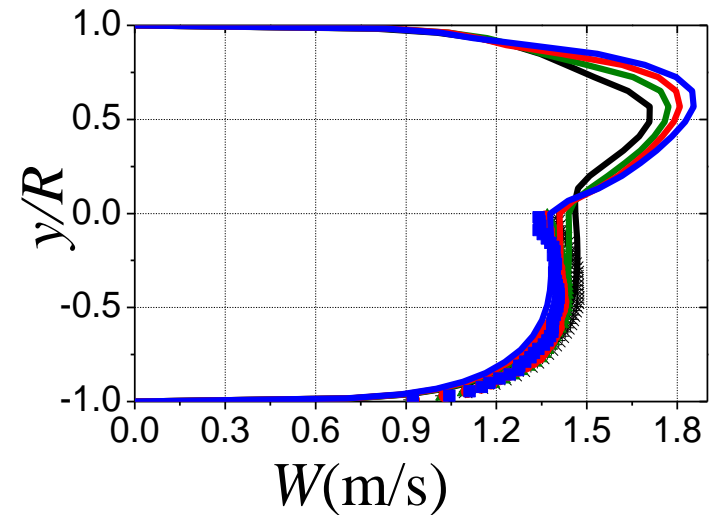
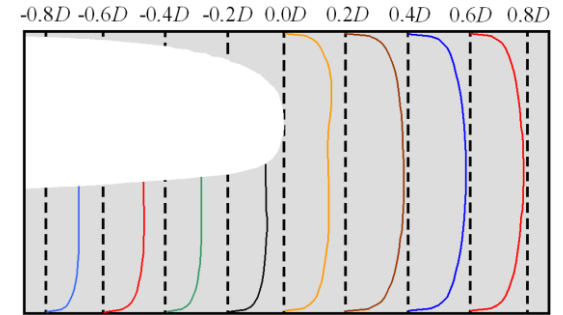
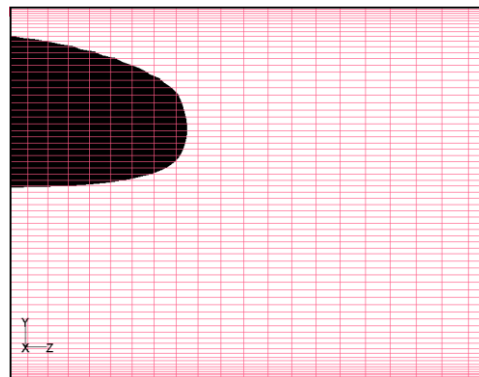
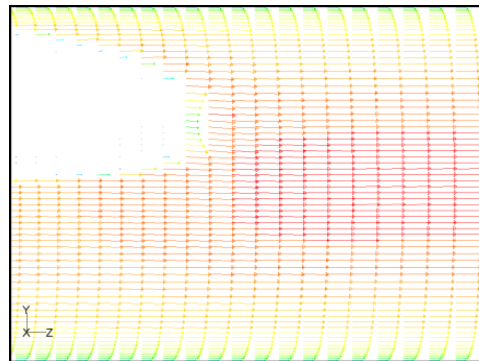
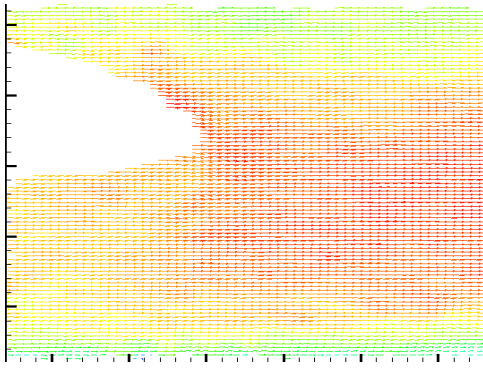
Formação de Golfada

- Escoamento água/ar em uma tubulação com 1 in de diâmetro

$$U_m = 0,6 \text{ m/s}$$

experimental
(Fonseca Jr, 2009)

numérico
VOF (Febres, 2009)

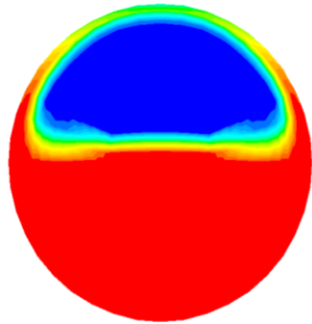
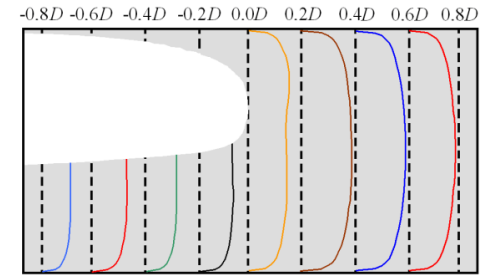


* -0.2D Fonseca(2009)	— VOF
▲ -0.4D Fonseca(2009)	— VOF
● -0.6D Fonseca(2009)	— VOF
■ -0.8D Fonseca(2009)	— VOF

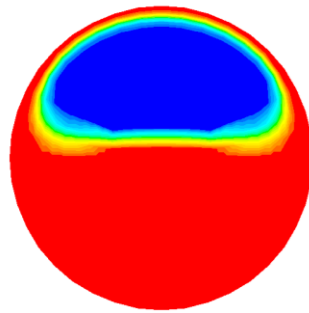
Formação de Golfada

- Escoamento água/ar em uma tubulação com 1 in de diâmetro

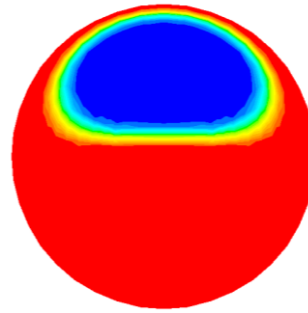
$$U_m = 0,77 \text{ m/s}$$



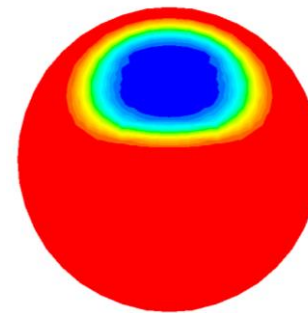
- 0,8D



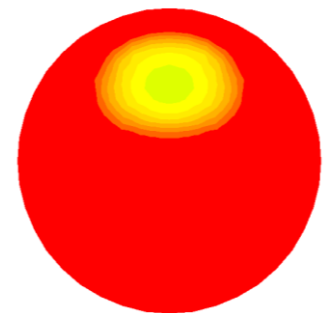
-0,6 D



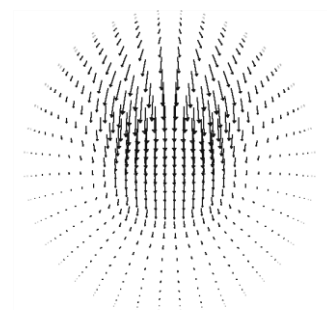
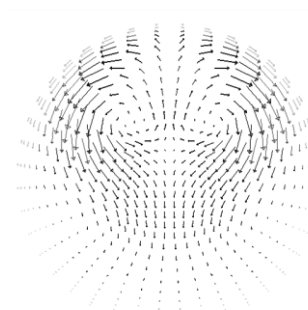
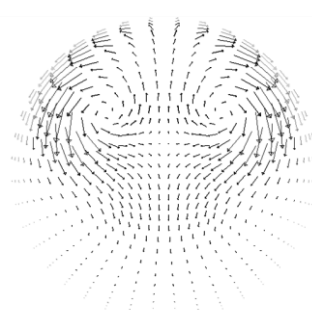
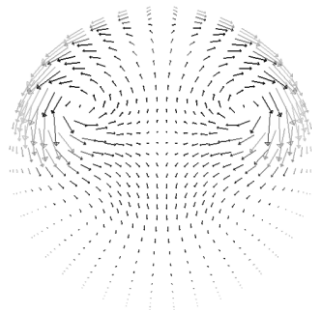
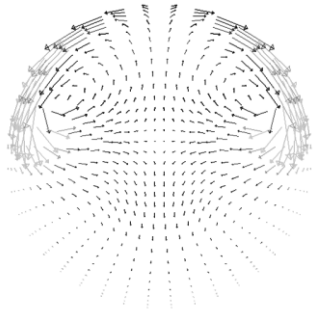
-0,4 D



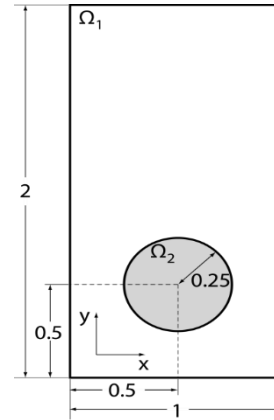
-0,2D



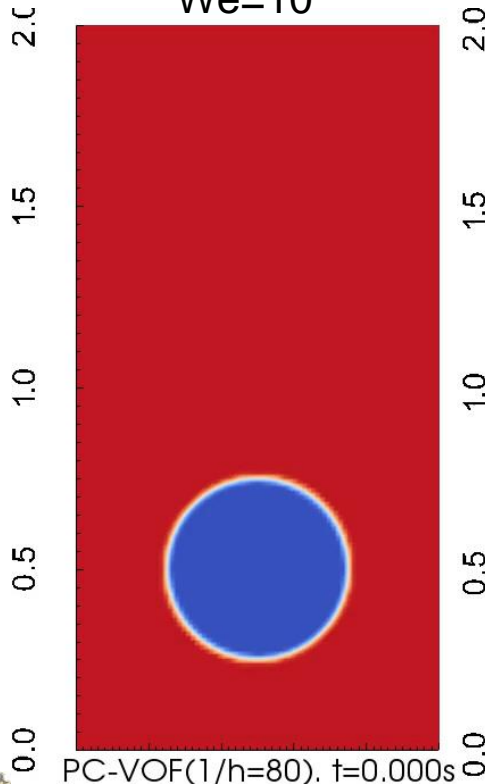
0,0 D



Bolha ascendente

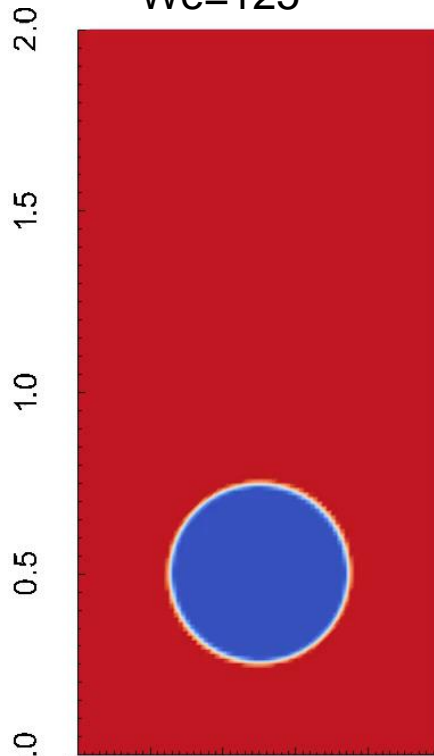


Re=35
Eo=9
Ca=0,286
We=10

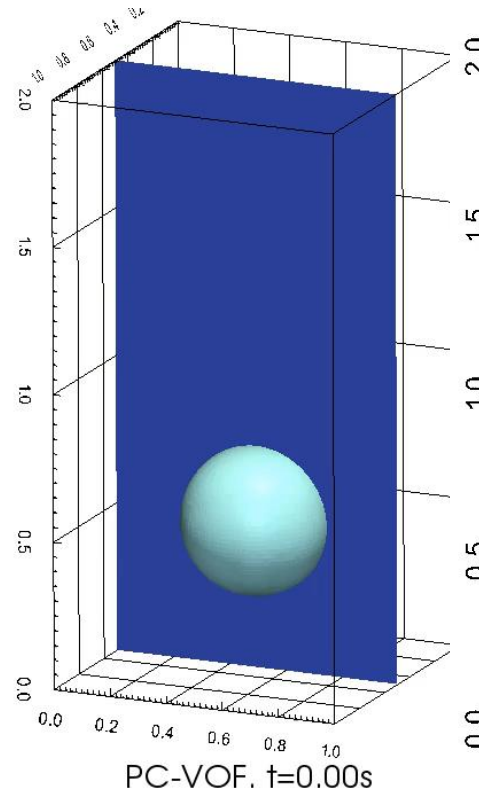


PC-VOF(1/h=80), t=0.000s

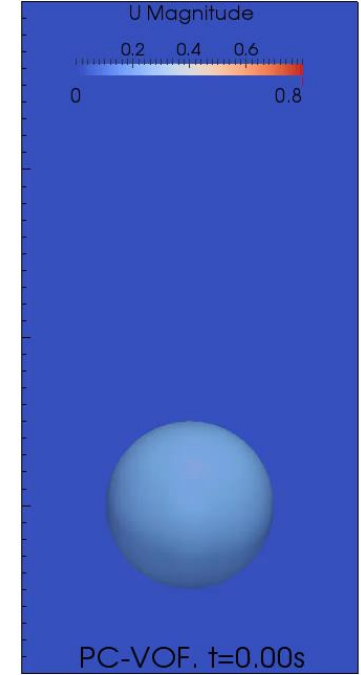
Re=35
Eo=125
Ca=3,571
We=125



PC-VOF(1/h=80), t=0.000s



PC-VOF, t=0.000s



PC-VOF, t=0.000s

Modelos de Equações Reduzidas

Modelos de Equações Reduzidas

- O escoamento em geral é caótico, com a exceção de casos muito simples. Uma descrição estatística é necessária.
- É necessário definir propriedades médias da mistura: médias no volume, na área, médias temporais, médias de conjunto, ou uma combinação destas.

Definição de Médias

- Média espacial:

volume

$$\frac{1}{\Delta V} \int_{\Delta V} F(t, \mathbf{x}) dV(\mathbf{x})$$

área

$$\frac{1}{\Delta A} \int_{\Delta A} F(t, \mathbf{x}) dA$$

linha

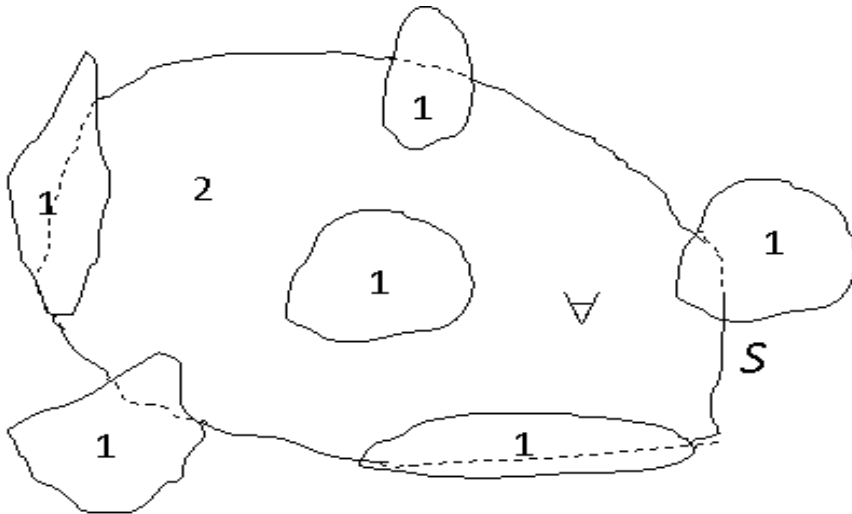
$$\frac{1}{\Delta C} \int_{\Delta C} F(t, \mathbf{x}) dC$$

- Média temporal: $\frac{1}{\Delta t} \int_{\Delta t} F(t, \mathbf{x}) dt$

- **Média temporal:** intervalo de tempo [Δt] deve ser grande o suficiente para suavizar as variações locais das propriedades, mas pequeno o suficiente quando comparado com o tempo macroscópico do escoamento.

Definição de Médias

- Médias no volume da fase $\bar{Z}_k(\mathbf{x}, t) = \frac{1}{\forall_k} \int_{\forall_k} Z_k d\forall$
- Fração volumétrica da fase k : $\alpha_k = \frac{\forall_k}{\forall}$



- Volume: $\forall = \forall_1 + \forall_2 \rightarrow \alpha_1 + \alpha_2 = 1$
- Fronteira do volume \forall : $S = S_1 + S_2$
- S_1 (pontilhada) e S_2 são as partes de \forall que estão em contato com as fases 1 e 2
- A soma das interfaces separando as duas fases dentro de \forall é S_i .

Formulação de Médias

- Consequências do processo de média
 - suavização das flutuações de forma análoga a que ocorre em um escoamento monofásico turbulento
 - existência de duas fases, que ocupam alternadamente um elemento de volume, no mesmo ponto, com uma probabilidade adequada para cada fase

Modelos de Equações Reduzidas

□ ***Modelos de Dois Fluidos***

- Fases separadas, um conjunto de equações de conservação para cada fase

□ ***Modelo de Deslizamento (Drift)***

- Modelo intermediário entre os outros dois. Determina o escoamento médio, porém, permite deslizamento entre as fases

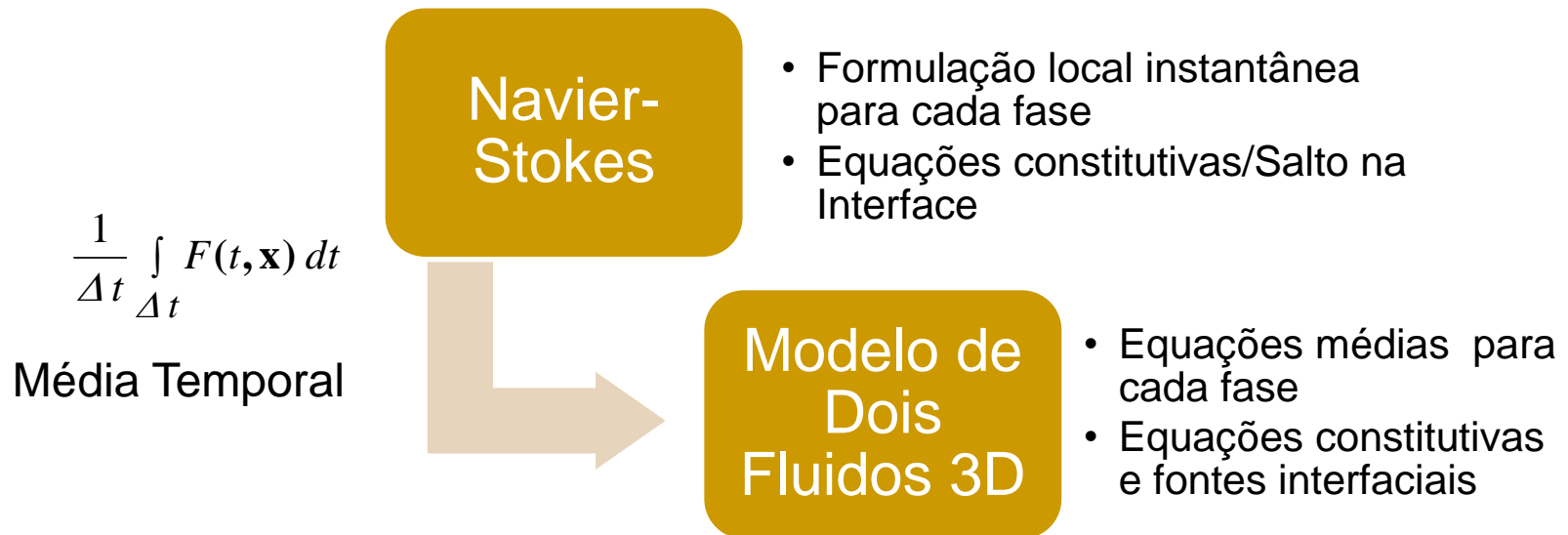
□ ***Modelo Homogêneo***

- Pseudo propriedades de um único fluido

O Modelo de Deslizamento e o Modelo Homogêneo podem ser obtidos a partir do Modelo de Dois Fluidos

Modelos de Equações Reduzidas

- Processo de obtenção do conjunto de equações que caracteriza o Modelo de Dois Fluidos



Equações Médias 3D

Conservação média volumétrica de massa

$$\frac{\partial (\alpha_k \bar{\rho}_k)}{\partial t} + \nabla \cdot (\alpha_k \overline{\rho_k \mathbf{u}_k}) = \Gamma_k$$

$$\Gamma_k = -\frac{1}{\nabla} \int_{S_i} \dot{m}_k dS_i$$

$$\dot{m}_k = \rho_k (\mathbf{u}_k - \mathbf{u}_i) \cdot \mathbf{n}_k$$

fluxo de massa da fase k
através da interface S_i

$$\sum_{k=1}^N \Gamma_k = 0$$

Média de Favre:

$$\hat{\mathbf{u}}_k = \frac{\overline{\rho_k \mathbf{u}_k}}{\bar{\rho}_k}$$

$$\frac{\partial (\alpha_k \bar{\rho}_k)}{\partial t} + \nabla \cdot (\alpha_k \bar{\rho}_k \hat{\mathbf{u}}_k) = \Gamma_k$$

fluxo volumétrico da fase k ou
velocidade superficial.

$$\mathbf{j}_k = \alpha_k \hat{\mathbf{u}}_k$$

Equações Médias 3D

Equação média volumétrica de conservação de quantidade de movimento linear

$$\frac{\partial(\alpha_k \overline{\rho_k \mathbf{u}_k})}{\partial t} + \nabla \cdot (\alpha_k \overline{\rho_k \mathbf{u}_k \mathbf{u}_k}) =$$

$$\nabla \cdot (\alpha_k \overline{\boldsymbol{\sigma}_k}) + \alpha_k \overline{\rho_k} \mathbf{g} + \mathbf{M}_k$$

$$\boldsymbol{\sigma}_k = -p_k \mathbf{I} + \boldsymbol{\tau}_k \quad ; \quad \boldsymbol{\tau}_k = \mu_k \left[\nabla \mathbf{u}_k + (\nabla \mathbf{u}_k)^T - \frac{2}{3} \nabla \cdot \mathbf{u}_k \mathbf{I} \right]$$

Fluido Newtoniano

$$\sum_{k=1}^N \mathbf{M}_k = \mathbf{M}_m$$

Equações Médias 3D

Equação média volumétrica de conservação de quantidade de movimento linear

Média de Favre:
$$\overline{\rho_k \mathbf{u}_k \mathbf{u}_k} = \bar{\rho}_k \widehat{\mathbf{u}_k \mathbf{u}_k}$$

Introduzindo a definição de flutuação

$$\mathbf{u}'_k = \mathbf{u}_k - \hat{\mathbf{u}}_k$$

$$\widehat{\mathbf{u}_k \mathbf{u}_k} = \hat{\mathbf{u}}_k \hat{\mathbf{u}}_k + \overline{\mathbf{u}'_k \mathbf{u}'_k} = \hat{\mathbf{u}}_k \hat{\mathbf{u}}_k - \overline{\boldsymbol{\tau}'_k}$$

$$\nabla \cdot (\alpha_k \overline{\rho_k \mathbf{u}_k \mathbf{u}_k}) = \nabla \cdot (\alpha_k \bar{\rho}_k \hat{\mathbf{u}}_k \hat{\mathbf{u}}_k) - \nabla \cdot (\alpha_k \overline{\boldsymbol{\tau}'_k})$$

Equações Médias 3D

Equação média volumétrica de conservação de quantidade de movimento linear

$$\boldsymbol{\sigma}_k = -p_k \mathbf{I} + \boldsymbol{\tau}_k$$

$$\nabla \cdot (\alpha_k \bar{\boldsymbol{\sigma}}_k) = -\nabla(\alpha_k \bar{p}_k) + \nabla \cdot (\alpha_k \bar{\boldsymbol{\tau}}_k)$$

$$\nabla \cdot (\alpha_k \bar{\boldsymbol{\sigma}}_k) = -\alpha_k \nabla \bar{p}_k - \bar{p}_k \nabla \alpha_k + \nabla \cdot (\alpha_k \bar{\boldsymbol{\tau}}_k)$$

$$\mathbf{M}_k = \Gamma_k (\mathbf{u}_{ki} - \hat{\mathbf{u}}_k) + p_{ki} \nabla \alpha_k - \nabla \alpha_k \cdot \boldsymbol{\tau}_{ki} + \mathbf{M}_{ki}$$

Força de arraste
generalizada

Equações Médias 3D

Equação média volumétrica de conservação de quantidade de movimento linear

$$\begin{aligned} \frac{\partial(\alpha_k \bar{\rho}_k \hat{\mathbf{u}}_k)}{\partial t} + \nabla \cdot (\alpha_k \bar{\rho}_k \hat{\mathbf{u}}_k \hat{\mathbf{u}}_k) = & -\alpha_k \nabla \bar{p}_k + \\ + \nabla \cdot [\alpha_k (\bar{\boldsymbol{\tau}}_k + \overline{\boldsymbol{\tau}'_k})] + \alpha_k \bar{\rho}_k \mathbf{g} + \\ + (\mathbf{u}_{ki} - \hat{\mathbf{u}}_k) \Gamma_k + (p_{ki} - \bar{p}_k) \nabla \alpha_k - \nabla \alpha_k \cdot \boldsymbol{\tau}_{ki} + \mathbf{M}_{ki} \end{aligned}$$

- Equações de fechamento: Γ_k ; \mathbf{M}_{ki} ; $\overline{\boldsymbol{\tau}'_k}$; $\boldsymbol{\tau}_{ki}$

Equações Médias 3D

Equação média volumétrica de conservação de energia

$$\frac{\partial (\alpha_k \overline{\rho_k h_k})}{\partial t} + \nabla \cdot (\alpha_k \overline{\rho_k \mathbf{u}_k h_k}) = \alpha_k \overline{\dot{q}_k}$$

$$- \nabla \cdot (\alpha_k \overline{\mathbf{q}_k}) + \frac{D_k (\alpha_k \overline{p_k})}{Dt} + \alpha_k \overline{\boldsymbol{\tau}_k : \mathbf{u}_k} + E_k$$

$$E_k = \Gamma_k \left(h_{ki} + \mathbf{u}_{ki} \cdot \hat{\mathbf{u}}_k - \frac{\hat{u}_k^2}{2} \right) + q_{ki} - p_{ki} \frac{\partial \alpha_k}{\partial t} + [\mathbf{M}_{ki} - \nabla \alpha_k \cdot \boldsymbol{\tau}_{ki}] \cdot \mathbf{u}_{ki}$$

$$\sum_{k=1}^N E_k = E_m$$

Equações Médias 3D

Equação média volumétrica de conservação de energia

Introduzindo a média Favre e a definição de flutuação

$$\begin{aligned} \frac{\partial (\alpha_k \bar{\rho}_k \bar{h}_k)}{\partial t} + \nabla \cdot (\alpha_k \bar{\rho}_k \hat{\mathbf{u}}_k \bar{h}_k) = \alpha_k \overline{\dot{q}_k} + \\ - \nabla \cdot [\alpha_k (\bar{\mathbf{q}}_k + \overline{\mathbf{q}'_k})] + \alpha_k \frac{D_k \langle p_k \rangle}{Dt} + \phi_k^\mu + \phi'_k + \\ + \Gamma_k h_{ki} + q_{ki} + (\bar{p}_k - p_{ki}) \frac{D_k \alpha_k}{Dt} + [\mathbf{M}_{ki} - \nabla \alpha_k \cdot \boldsymbol{\tau}_{ki}] \cdot (\mathbf{u}_{ki} - \hat{\mathbf{u}}_k) \end{aligned}$$

$$\phi_k^\mu = \alpha_k \bar{\boldsymbol{\tau}}_k : \nabla \hat{\mathbf{u}}_k \quad ; \quad \phi'_k = \alpha_k \overline{\boldsymbol{\tau}'_k : \nabla \mathbf{u}'_k} - \overline{\mathbf{u}'_k \cdot \nabla \cdot (\alpha_k \boldsymbol{\tau}'_k)}$$

Dissipação viscosa

Fonte de energia turbulenta

Equação de Energia Simplificada

- Desprezando:
 - geração de calor
 - termos devido aos efeitos mecânicos
(transferência de calor e mudança de fase dominantes)

$$\frac{\partial (\alpha_k \bar{\rho}_k \bar{h}_k)}{\partial t} + \nabla \cdot (\alpha_k \bar{\rho}_k \hat{\mathbf{u}}_k \bar{h}_k) =$$

$$= -\nabla \cdot [\alpha_k (\bar{\mathbf{q}}_k + \overline{\mathbf{q}'_k})] + \Gamma_k h_{ki} + q_{ki}$$

$$\sum_{k=1}^2 \Gamma_k h_{ki} + q_{ki} = 0$$

Modelos de Dois Fluidos Isotérmico

- Conservação de massa para cada fase

$$\frac{\partial(\alpha_k \bar{\rho}_k)}{\partial t} + \nabla \cdot (\alpha_k \bar{\rho}_k \hat{\mathbf{u}}_k) = \Gamma_k$$

- Conservação de quantidade de movimento para cada fase

$$\begin{aligned} & \frac{\partial(\alpha_k \bar{\rho}_k \hat{\mathbf{u}}_k)}{\partial t} + \nabla \cdot (\alpha_k \bar{\rho}_k \hat{\mathbf{u}}_k \hat{\mathbf{u}}_k) = -\alpha_k \nabla \bar{p}_k + \\ & + \nabla \cdot [\alpha_k (\bar{\boldsymbol{\tau}}_k + \overline{\boldsymbol{\tau}'_k})] + \alpha_k \bar{\rho}_k \mathbf{g} + \\ & + (\mathbf{u}_{ki} - \hat{\mathbf{u}}_k) \Gamma_k + (p_{ki} - \bar{p}_k) \nabla \alpha_k - \nabla \alpha_k \cdot \boldsymbol{\tau}_{ki} + \mathbf{M}_{ki} \end{aligned}$$

Modelos de Deslizamento (Drift)

- Conservação de massa
 - para cada fase

$$\frac{\partial(\alpha_k \bar{\rho}_k)}{\partial t} + \nabla \cdot (\alpha_k \bar{\rho}_k \hat{\mathbf{u}}_k) = \Gamma_k \quad k = 1 \text{ e } 2$$

OU

- uma fase e a mistura, onde a conservação da mistura é obtida somando as equações de conservação de cada fase

$$\frac{\partial \rho_m}{\partial t} + \nabla \cdot (\rho_m \mathbf{u}_m) = 0 \quad \frac{\partial(\alpha_1 \bar{\rho}_1)}{\partial t} + \nabla \cdot (\alpha_1 \bar{\rho}_1 \mathbf{u}_m) = \Gamma_1 + \nabla \cdot [\alpha_1 \bar{\rho}_1 (\mathbf{u}_m - \hat{\mathbf{u}}_1)]$$

$$\rho_m = \alpha_1 \bar{\rho}_1 + \alpha_2 \bar{\rho}_2$$

$$\rho_m \mathbf{u}_m = \alpha_1 \bar{\rho}_1 \hat{\mathbf{u}}_1 + \alpha_2 \bar{\rho}_2 \hat{\mathbf{u}}_2$$

Modelos de Deslizamento (Drift)

- Conservação de quantidade de movimento para a mistura

$$\frac{\partial(\rho_m \mathbf{u}_m)}{\partial t} + \nabla \cdot (\rho_m \mathbf{u}_m \mathbf{u}_m + \mathbf{J}) = \rho_m \mathbf{g} - \nabla p_m + \nabla \cdot \boldsymbol{\tau}_m + \frac{1}{\nabla} \int_{S_i} (\mathbf{u}_1 - \mathbf{u}_2) \dot{m} dS_i$$

$$p_m = \alpha_1 p_1 + \alpha_2 p_2 \quad ; \quad \boldsymbol{\tau}_m = \alpha_1 \boldsymbol{\tau}_1 + \alpha_2 \boldsymbol{\tau}_2$$

\mathbf{J} é o fluxo de deslizamento (“drift flux”) generalizado

(desprezando termos de correlação cruzada e para fluidos incompressíveis)

$$\rho_m \mathbf{J} = \alpha_1 \alpha_2 \rho_1 \rho_2 (\hat{\mathbf{u}}_2 - \hat{\mathbf{u}}_1)(\hat{\mathbf{u}}_2 - \hat{\mathbf{u}}_1)$$

- Modelo para a velocidade de deslizamento $(\hat{\mathbf{u}}_2 - \hat{\mathbf{u}}_1)$ utiliza-se modelos empíricos (Ishii, 1975, Hibiki e Ishii, 2002 e 2003).

Modelo Homogêneo

- As duas fases escoam com a mesma velocidade: $J = 0$
- Conservação de massa da mistura

$$\frac{\partial \rho_m}{\partial t} + \nabla \cdot (\rho_m \mathbf{u}_m) = 0$$

- Conservação de quantidade de movimento da mistura

$$\frac{\partial (\rho_m \mathbf{u}_m)}{\partial t} + \nabla \cdot (\rho_m \mathbf{u}_m \mathbf{u}_m) = \rho_m \mathbf{g} - \nabla p_m + \nabla \cdot \boldsymbol{\tau}_m$$

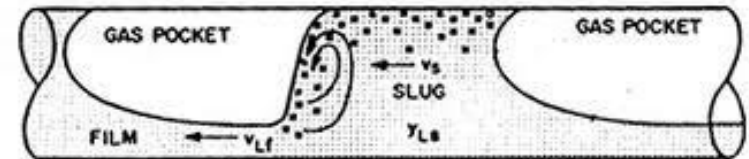
Comentários sobre as Equações Reduzidas

- Os modelos baseados na equações reduzidas, são baseados nas equações médias temporais
- Necessitam de equações de fechamento para avaliar as iterações existentes nas interfaces

Modelo de Dois Fluidos 1D

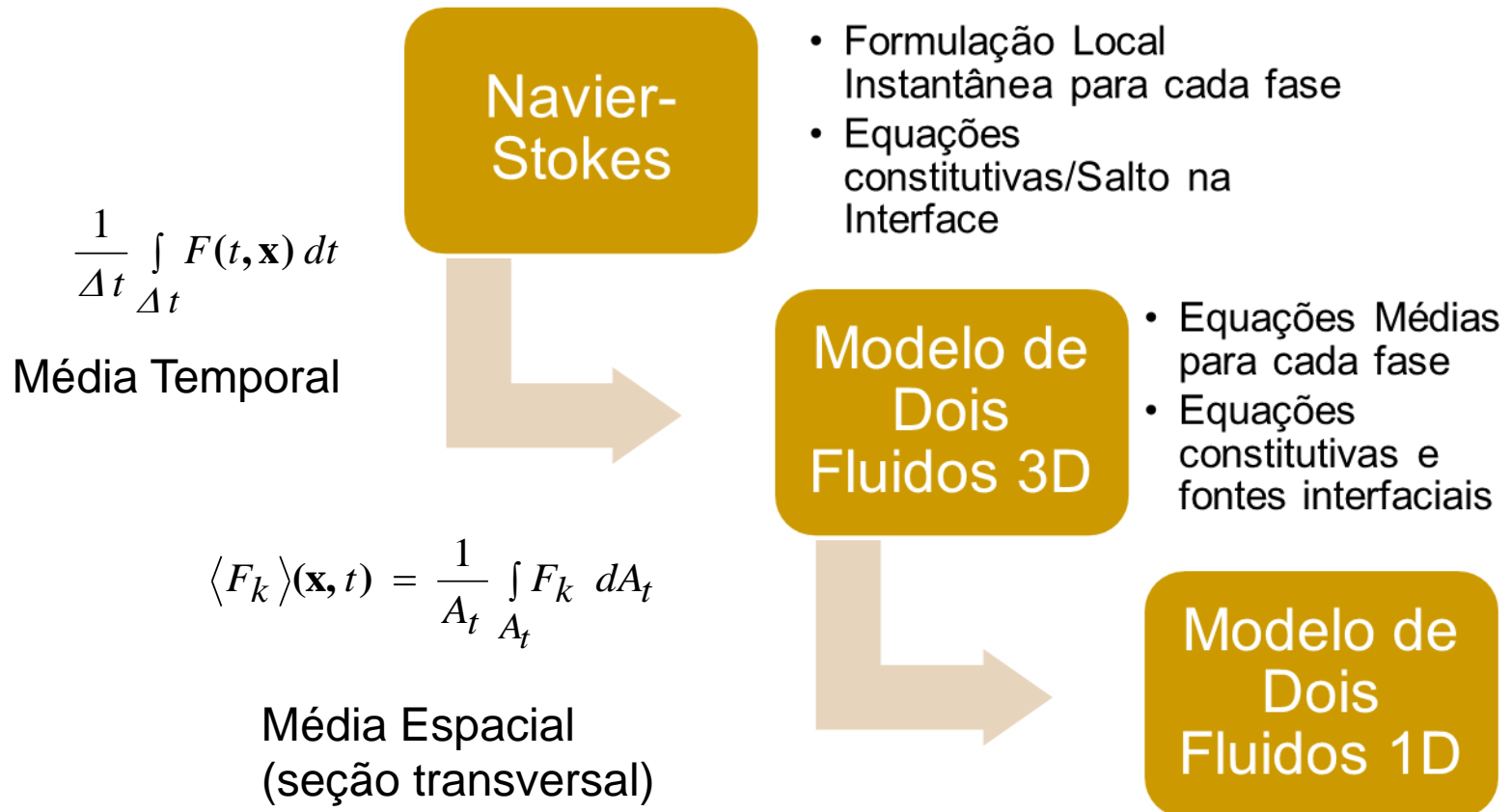
Modelo de Dois Fluidos 1D

- O Modelo de Dois Fluidos 1D é extremamente usado na simulação de escoamentos bifásicos em dutos
 - Ex. Indústria do petróleo, nuclear, etc
- Natureza complexa (3D) do escoamento (ex. regime de golfadas)
 - Apesar disso, estratégia 1D ainda é a mais adequada para a simulação de longos dutos
- No entanto, é preciso ter extremo cuidado
 - O processo de média leva a perda de informação
 - Modelos de fechamento devem ser incorporados
 - Efeito crítico sobre o caráter matemático das equações (*bem- ou mal-posto*)



Modelos de Equações Reduzidas 1D

- Processo de obtenção do conjunto de equações que caracteriza o Modelo de Dois Fluidos 1D



Modelo de Dois Fluidos 1D

- integrar as equações tri-dimensionais através da seção transversal
- introduzir valores médios apropriados.

$$\langle F_k \rangle(\mathbf{x}, t) = \frac{1}{A_t} \int_{A_t} F_k dA_t \qquad \langle\langle F_k \rangle\rangle(\mathbf{x}, t) = \frac{\langle \alpha_k F_k \rangle}{\langle \alpha_k \rangle}$$

- Fração de vazío

$$\langle \alpha_k \rangle = \frac{\langle \nabla k \rangle}{\nabla}$$

O componente axial da velocidade média na área ponderada da fase k

$$\langle\langle \hat{u}_k \rangle\rangle = \frac{\langle \alpha_k \hat{u}_k \rangle}{\langle \alpha_k \rangle} = \frac{\langle j_k \rangle}{\langle \alpha_k \rangle}$$

fluxo volumétrico da fase k ou velocidade superficial.

$$\langle j_k \rangle = \langle \alpha_k \hat{u}_k \rangle \qquad \langle j \rangle = \sum_{k=1}^2 \langle j_k \rangle = \sum_{k=1}^2 \langle \alpha_k \hat{u}_k \rangle$$

Conservação de Massa 1D

$$\frac{1}{A_t} \int_{A_t} \left\{ \frac{\partial(\alpha_k \bar{\rho}_k)}{\partial t} + \nabla \cdot (\alpha_k \bar{\rho}_k \hat{\mathbf{u}}_k) \right\} dA_t = \frac{1}{A_t} \int_{A_t} \Gamma_k dA_t$$

- Escoamento 1D na direção x:

$$\hat{u}_{ky} \ll \hat{u}_{kx} \quad \hat{u}_{kz} \ll \hat{u}_{kx} \quad \frac{\partial}{\partial z} \sim 0$$

$$\frac{\partial}{\partial t} (\langle \alpha_k \rangle \bar{\rho}_k) + \frac{\partial}{\partial x} (\langle \alpha_k \rangle \bar{\rho}_k \langle \hat{u}_{kx} \rangle) = \langle \Gamma_k \rangle$$

- Equações de fechamento: $\langle \Gamma_k \rangle$

Conservação de Quantidade de Movimento Linear 1D

$$\begin{aligned} & \frac{1}{A_t} \int_{A_t} \left\{ \frac{\partial \alpha_k \bar{\rho}_k \hat{\mathbf{u}}_k}{\partial t} + \nabla \cdot (\alpha_k \bar{\rho}_k \hat{\mathbf{u}}_k \hat{\mathbf{u}}_k) \right\} dA_t = \\ & = \frac{1}{A_t} \int_{A_t} \left\{ \alpha_k \nabla \bar{p}_k + \nabla \cdot [\alpha_k (\bar{\boldsymbol{\tau}}_k + \overline{\boldsymbol{\tau}'_k})] \right\} dA_t + \frac{1}{A_t} \int_{A_t} \alpha_k \bar{\rho}_k \mathbf{g}_k dA_t \\ & + \frac{1}{A_t} \int_{A_t} \left\{ (\mathbf{u}_{ki} - \hat{\mathbf{u}}_k) \Gamma_k + (p_{ki} - \bar{p}_k) \nabla \alpha_k - \nabla \alpha_k \cdot \boldsymbol{\tau}_{ki} + \mathbf{M}_{ki} \right\} dA_t \end{aligned}$$

- Escoamento 1D na direção x:

$$\hat{u}_{ky} \ll \hat{u}_{kx} \quad \hat{u}_{kz} \ll \hat{u}_{kx} \quad \frac{\partial}{\partial z} \sim 0$$

Conservação de Quantidade de Movimento Linear 1D

■ Termo convectivo $\frac{1}{A_t} \int_{A_t} \nabla \cdot (\alpha_k \bar{\rho}_k \hat{\mathbf{u}}_k \hat{u}_k) dA_t \approx \frac{1}{A_t} \int_{A_t} \frac{\partial}{\partial x} (\alpha_k \bar{\rho}_k \hat{u}_k \hat{u}_k) dA_t$

$$\frac{1}{A_t} \int_{A_t} \nabla \cdot (\alpha_k \bar{\rho}_k \hat{\mathbf{u}}_k \hat{u}_k) dA_t = \frac{\partial}{\partial x} \left(\bar{\rho}_k \langle \alpha_k \rangle \langle \langle \hat{u}_k \hat{u}_k \rangle \rangle \right)$$

■ Parâmetro de distribuição $C_{u,k} = \frac{\langle \langle u_k^2 \rangle \rangle}{\langle \langle u_k \rangle \rangle^2}$

$$C_{u,k} = \frac{\langle \langle u_k^2 \rangle \rangle}{\langle \langle u_k \rangle \rangle^2} = \frac{\langle \alpha_k u_k^2 \rangle}{\langle \alpha_k \rangle \langle \langle u_k \rangle \rangle^2} = \frac{\langle \alpha_k u_k^2 \rangle \langle \alpha_k \rangle^2}{\langle \alpha_k \rangle \langle u_k \rangle^2} = \frac{\int \alpha_k u_k^2 dA \int \alpha_k dA}{\left(\int \alpha_k u_k dA \right)^2}$$

$$\frac{1}{A_t} \int_{A_t} \nabla \cdot (\alpha_k \bar{\rho}_k \hat{\mathbf{u}}_k \hat{u}_k) dA_t = \frac{\partial}{\partial x} \left(C_{u,k} \langle \alpha_k \rangle \bar{\rho}_k \langle \langle \hat{u}_k \rangle \rangle \langle \langle \hat{u}_k \rangle \rangle \right)$$

Conservação de Quantidade de Movimento Linear 1D

- Fluxo líquido viscoso na direção x

$$\frac{1}{A_t} \int_{A_t} \nabla \cdot [\alpha_k (\bar{\tau}_k + \overline{\tau'_k})] dA_t =$$

$$= \frac{1}{A_t} \int_{A_t} \left\{ \frac{\partial}{\partial x} [\alpha_k (\bar{\tau}_{k_{xx}} + \overline{\tau'_{k_{xx}}})] + \frac{\partial}{\partial y} [\alpha_k (\bar{\tau}_{k_{xy}} + \overline{\tau'_{k_{xy}}})] + \frac{\partial}{\partial z} [\alpha_k (\bar{\tau}_{k_{xz}} + \overline{\tau'_{k_{xz}}})] \right\} dA_t$$

$$\frac{1}{A_t} \int_{A_t} \nabla \cdot [\alpha_k (\bar{\tau}_k + \overline{\tau'_k})] dA_t = -\frac{\tau_{wk} S_k}{A_t} + \frac{\partial}{\partial x} \left[\langle \alpha_k \rangle \langle \langle \bar{\tau}_{k_{xx}} + \overline{\tau'_{k_{xx}}} \rangle \rangle \right]$$

- τ_{wk} tensão cisalhante que atua na parede do duto

Conservação de Quantidade de Movimento Linear 1D

- Termo interfacial

$$\frac{1}{A_t} \int_{A_t} \{(\mathbf{u}_{ki} - \hat{\mathbf{u}}_k) \Gamma_k + \mathbf{M}_{ik} - \nabla \alpha_k \bullet \boldsymbol{\tau}_{ki} + (p_{ki} - \bar{p}_k) \nabla \alpha_k\} dA_t =$$

$$= (\langle\langle \mathbf{u}_{ki} \rangle\rangle - \langle\langle \hat{\mathbf{u}}_k \rangle\rangle) \langle\langle \Gamma_k \rangle\rangle + \langle\langle \mathbf{M}_k^d \rangle\rangle + (\langle\langle p_{ki} \rangle\rangle - \langle\langle \bar{p}_k \rangle\rangle) \frac{\partial \langle\langle \alpha_k \rangle\rangle}{\partial x}$$

força cisalhante interfacial total: $\langle\langle \mathbf{M}_k^d \rangle\rangle = \langle\langle \mathbf{M}_{ik} \rangle\rangle_x - \langle\langle \nabla \alpha_k \bullet \boldsymbol{\tau}_{ki} \rangle\rangle_x$

$$\langle\langle \mathbf{M}_k^d \rangle\rangle = -\frac{\tau_i S_i}{A_t}$$

- τ_i Tensão cisalhante na interface

Conservação de Quantidade de Movimento Linear 1D

$$\begin{aligned} & \frac{\partial \langle \alpha_k \rangle \bar{\rho}_k \langle \langle \hat{u}_k \rangle \rangle}{\partial t} + \frac{\partial}{\partial x} \left(C_{u,k} \langle \alpha_k \rangle \bar{\rho}_k \langle \langle \hat{u}_k \rangle \rangle \langle \langle \hat{u}_k \rangle \rangle \right) = \\ & = - \langle \alpha_k \rangle \frac{\partial}{\partial x} \langle \langle \bar{p}_k \rangle \rangle - \frac{\tau_{wk} S_k}{A_t} + \frac{\partial}{\partial x} \left[\langle \alpha_k \rangle \langle \langle \bar{\tau}_{k_{xx}} + \overline{\tau'_{k_{xx}}} \rangle \rangle \right] \\ & + \langle \alpha_k \rangle \bar{\rho}_k g_x + \langle \langle \hat{u}_{ki} - \hat{u}_k \rangle \rangle \langle \Gamma_k \rangle \pm \frac{\tau_i S_i}{A_t} + \frac{\partial \langle \langle \alpha_k \rangle \rangle}{\partial x} \left(\langle \langle p_{ki} \rangle \rangle - \langle \langle p_k \rangle \rangle \right) \end{aligned}$$

- Equações de fechamento: $C_{u,k}$; τ_{wk} ; τ_i
 $p_{ki} - p_k$; $p_{gi} - p_{li}$

Equações de Conservação 1D

- Conservação de energia

$$\begin{aligned} & \frac{\partial \langle \alpha_k \rangle \bar{\rho}_k \langle \langle \hat{h}_k \rangle \rangle}{\partial t} + \frac{\partial}{\partial x} \left(C_{h,k} \langle \alpha_k \rangle \bar{\rho}_k \langle \langle \hat{u}_k \rangle \rangle \langle \langle \hat{h}_k \rangle \rangle \right) = \\ & = \frac{q_{wk} S_k}{A_t} - \frac{\partial}{\partial x} \left[\langle \alpha_k \rangle \langle \langle q_{k_x} + \overline{q'_{k_x}} \rangle \rangle \right] + \langle \langle h_{ki} \rangle \rangle \langle \Gamma_k \rangle + \langle \langle q_{ki} \rangle \rangle \end{aligned}$$

- Sem transferência de massa e sem difusão axial
- Eliminando as barras para simplificar

$$\frac{\partial}{\partial t} (\rho_k \alpha_k h_k) + \frac{\partial}{\partial x} (C_{h,k} \rho_k \alpha_k u_k h_k) = \frac{q_{wk} S_k}{A} \pm \frac{q_i S_i}{A}$$

- Equações de fechamento: $C_{u,h}$; q_{wk} ; q_i

Modelo 2 Fluidos Isotérmico 1D

- Hipóteses:
 - Sem transferência de massa, isotérmico, sem difusão axial
- Eliminando as barras para simplificar

$$u_k = \langle \langle \hat{u}_{kx} \rangle \rangle$$

$$\frac{\partial}{\partial t} (\rho_k \alpha_k) + \frac{\partial}{\partial x} (\rho_k \alpha_k u_k) = 0$$

$$\begin{aligned} & \frac{\partial}{\partial t} (\rho_k \alpha_k u_k) + \frac{\partial}{\partial x} (C_{u,k} \rho_k \alpha_k u_k^2) = \\ & = -\alpha_k \frac{\partial p_{ki}}{\partial x} + \frac{\partial \alpha_k (p_{ik} - p_k)}{\partial x} - \alpha_k \rho_k g_x - \frac{\tau_{wk} S_k}{A} \pm \frac{\tau_i S_i}{A} \end{aligned}$$

Modelo Homogêneo Isotérmico 1D

- Hipóteses:
 - Bifásico, sem transferência de massa, isotérmico, sem difusão axial

$$\frac{\partial \rho_m}{\partial t} + \frac{\partial(\rho_m u_m)}{\partial z} = 0$$

$$\frac{\partial(\rho_m u_m)}{\partial t} + \frac{\partial(\rho_m u_m u_m)}{\partial z} = -\frac{\partial p_m}{\partial z} - \rho_m g \operatorname{sen} \beta - \frac{\tau_w S_w}{A}$$

- Equações de fechamento: τ_w

Modelos 1-D de Deslizamento (Drift)

- Hipóteses:
 - Bifásico, sem transferência de massa, isotérmico, sem difusão axial
- Equação de conservação de massa

$$\frac{\partial(\alpha_g \rho_g)}{\partial t} + \frac{\partial(\alpha_g \rho_g u_g)}{\partial z} = 0 \qquad \frac{\partial(\alpha_l \rho_l)}{\partial t} + \frac{\partial(\alpha_l \rho_l u_l)}{\partial z} = 0$$

ou

$$\frac{\partial(\alpha_g \rho_g)}{\partial t} + \frac{\partial(\alpha_g \rho_g u_m)}{\partial z} = - \frac{\partial(\alpha_g \rho_g V_{gm})}{\partial z} \qquad V_{gm} = u_g - u_m$$

$$\frac{\partial \rho_m}{\partial t} + \frac{\partial(\rho_m u_m)}{\partial z} = 0$$

Modelos 1-D de Deslizamento (Drift)

- Equação de conservação de quantidade de movimento

$$\frac{\partial(\rho_m u_m)}{\partial t} + \frac{\partial(\rho_m u_m u_m)}{\partial z} = -\frac{\partial p_m}{\partial z} - \rho_m g \text{sen}\beta - \frac{\tau_w S_w}{A} - \frac{\partial J}{\partial z}$$

$$J = \frac{\alpha_g \alpha_\ell \rho_g \rho_\ell (u_g - u_\ell)(u_g - u_\ell)}{\rho_m}$$

Fluxo de *drift*

- Equações de fechamento: τ_w ; $V_{gm} = (u_g - u_m)$; $u_r = (u_g - u_\ell)$

velocidade relativa
entre fases

Modelos 1-D de Deslizamento (Drift)

- velocidade entre fases:
- velocidade relativa entre a fase gasosa e o fluxo volumétrico $j = \alpha_g U_g + \alpha_l U_l$
- velocidade relativa entre a fase gasosa e velocidade média
- Formulação de Zuber-Findlay (1965):

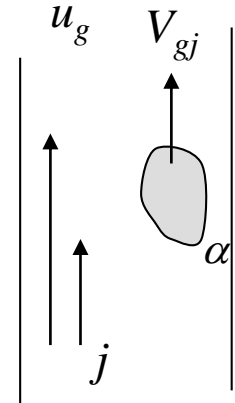
$$u_r = (u_g - u_l)$$

$$V_{gj} = u_g - j \quad \text{ou}$$

$$V_{gj} = \alpha_l (u_g - u_l) = \alpha_l u_r$$

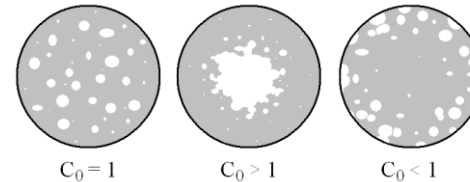
$$V_{gm} = u_g - u_m$$

$$u_g = C_o j + V_{drift}$$



C_o : parâmetro de distribuição: considera o efeito de α_g e u_m nos perfis

V_{drif} : velocidade de deslizamento



$$V_{gj} = V_{drift} + (C_o - 1) j$$

$$J = \frac{\alpha_g}{\alpha_l} \frac{\rho_g}{\rho_m} V_{gj}^2$$

$$u_g = u_m + \frac{\rho_l}{\rho_m} V_{gj}$$

$$u_l = u_m - \frac{\alpha_g}{1 - \alpha_g} \frac{\rho_g}{\rho_m} V_{gj}$$

Análise das Características do Modelo de Dois Fluidos 1D

- Segundo Courant e Lax (1949) um modelo é considerado "bem-posto" ("Well-posed") se as **condições de Hadamard** são satisfeitas
 - A solução existe
 - A solução é única
 - A solução depende continuamente das condições iniciais e de contorno
- Para tal, a análise das características é realizada

Análise das Características do Modelo de Dois Fluidos 1D

- Linearização do sistema de equações

$$\mathbf{A}(\mathbf{v}) \frac{\partial}{\partial t} \mathbf{v} + \mathbf{B}(\mathbf{v}) \frac{\partial}{\partial x} \mathbf{v} + \mathbf{C}(\mathbf{v}) = 0 \quad 0 \leq x \leq L \quad t \geq 0$$

$$\mathbf{v}(0, x) = \mathbf{v}_{ini}(x)$$

\mathbf{A} e \mathbf{B} são matrizes *Jacobianas* de dimensão $n \times n$

\mathbf{C} é um vetor coluna de dimensão n

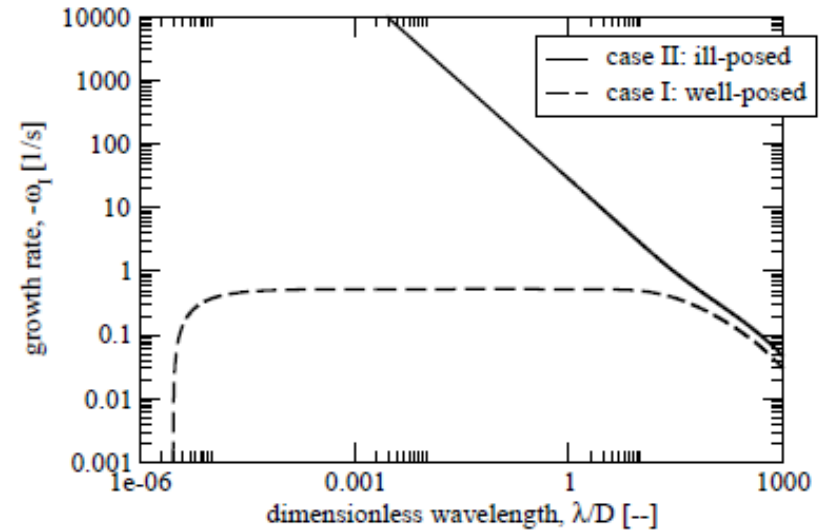
- Características* λ_n do sistema, são definidas tais que

$$\det(\mathbf{B} - \lambda_n \mathbf{A}) = 0$$

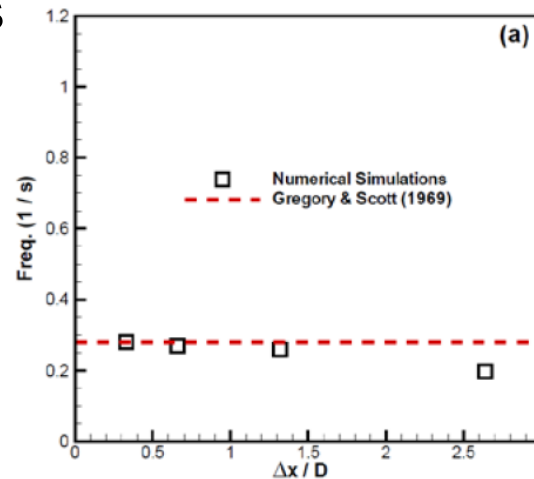
- reais distintas: **sistema hiperbólico**
- nulas: **sistema parabólico**
- complexas: **sistema elíptico**  "Mal-posto"

Modelo "Bem-posto" vs. "Mal-posto"

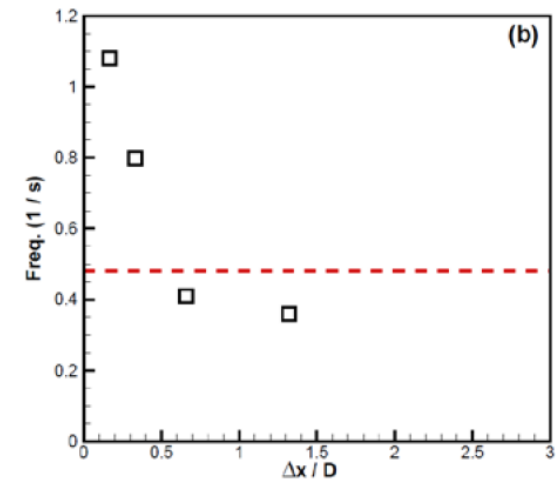
- *Montini (2011)*
 - Taxa de crescimento das perturbações
 - Bem-posto vs. Mal posto



- *Carneiro (2006)*
 - Transição escoamento estratificado -> golfadas
 - Frequência das golfadas para casos bem e mal-postos

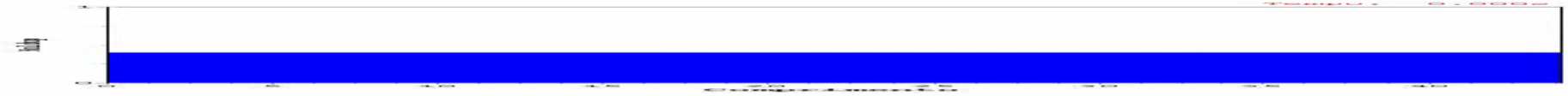
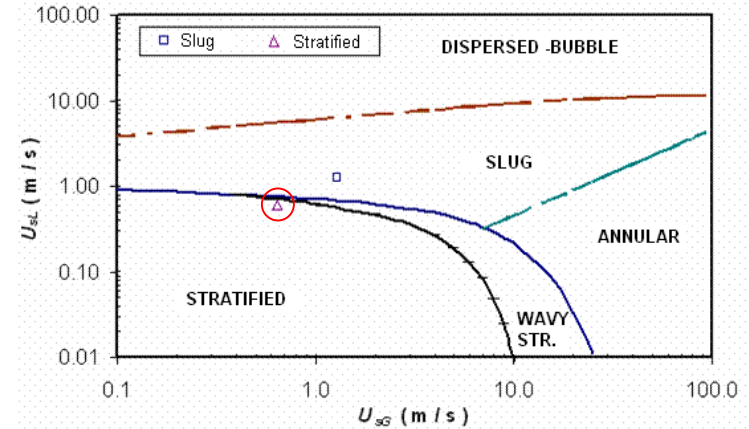
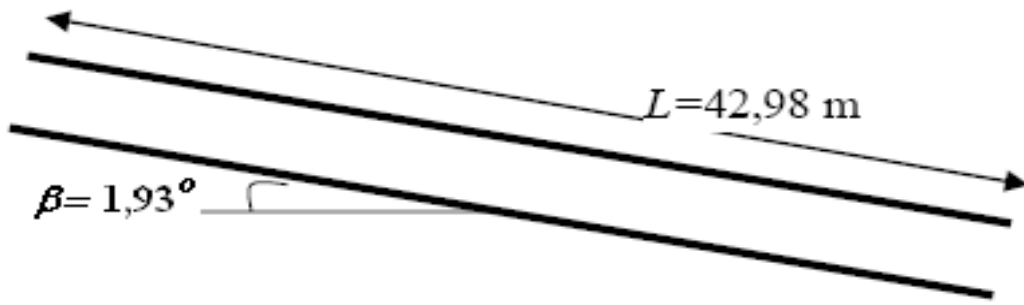
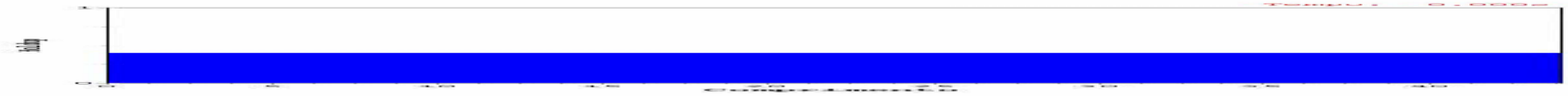
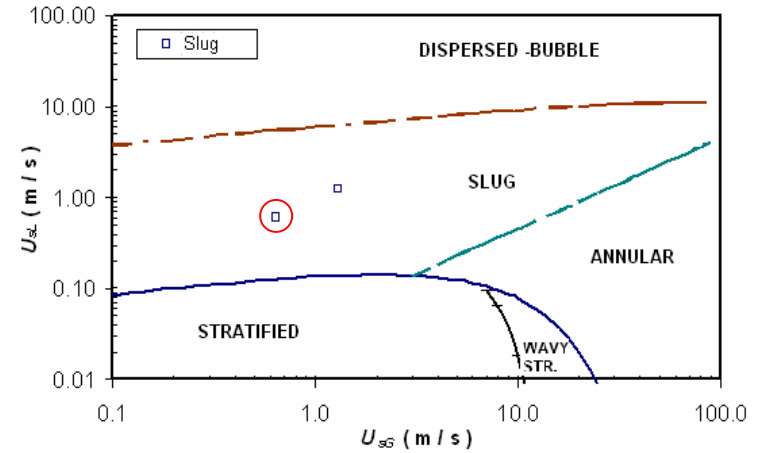
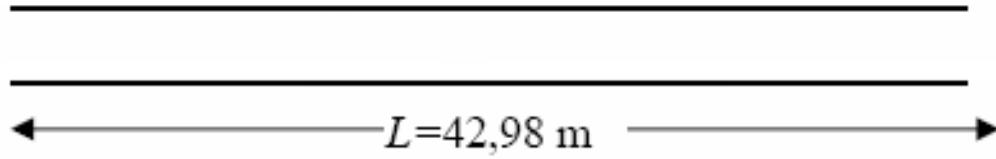


(a) caso bem-posto



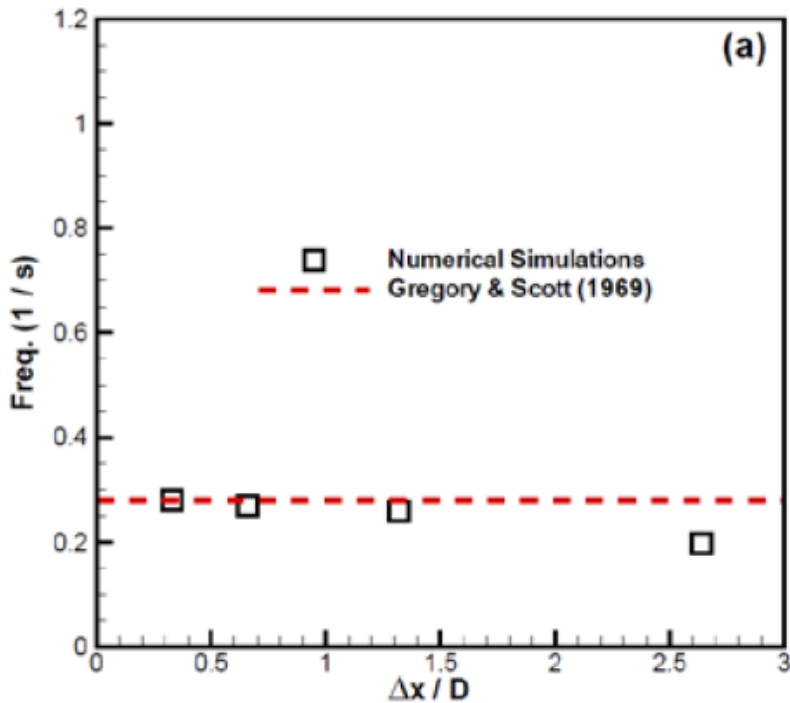
(b) caso mal posto

Escoamento Estável vs. Instável

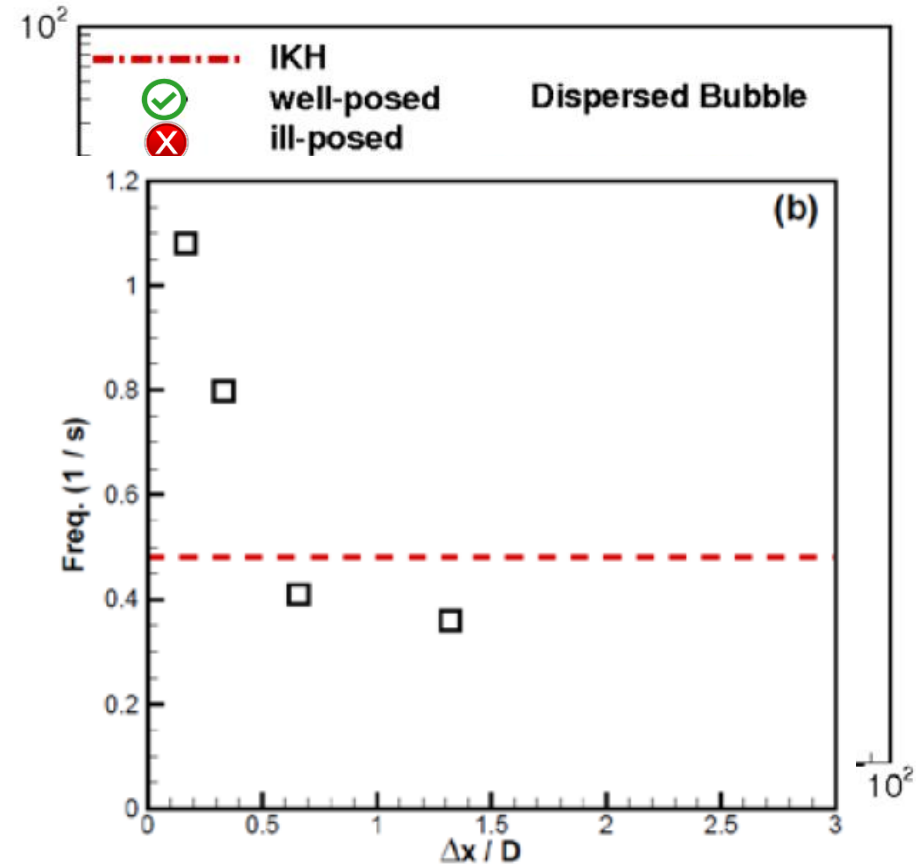


Estabilidade vs. Bom-Condicionamento

- Escoamento estratificado e golfadas
 - Região estável (bem posto)



(a) caso bem-posto

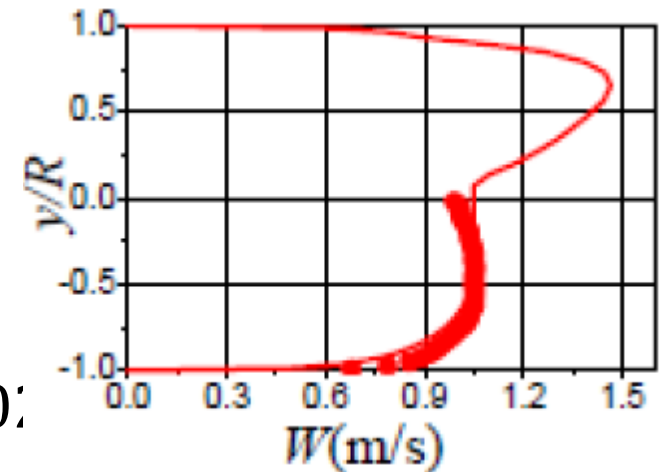


(b) caso mal posto

Modelos de Fechamento

■ Parâmetro de Forma/Distribuição

- Geralmente considera-se $C_{u,k} = 1$
- $C_{u,k}$ corrige o fato de que o perfil de velocidades não é uniforme (ex. escoamento estratificado)
- Altera o fluxo de quantidade de movimento
- Escoamento monofásico:
 - Laminar: $C_{u,k} = 4/3 = 1,33$
 - Turbulento (lei de 1/7): $C_{u,k} = 1,0$
- Escoamento multifásico:
 - $C_{u,k}$ geralmente empírico, pode depender de velocidades, geometria e frações volumétricas



(Febres, 2010)

Modelos de Fechamento

- **Tensão Cisalhante das fases com a parede e na interface**

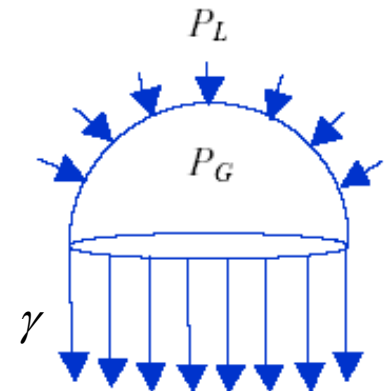
$$\tau_{wk} = f_k \frac{1}{2} \bar{\rho}_k \langle \hat{u}_k \rangle \left| \langle \hat{u}_k \rangle \right| \qquad \tau_i = f_i \frac{1}{2} \bar{\rho}_i \langle \hat{u}_2 - \hat{u}_1 \rangle \left| \langle \hat{u}_2 - \hat{u}_1 \rangle \right|$$

f_k : fator de atrito, determinado empiricamente em função do número de Reynolds da fase k

- **Difusão axial** frequentemente desprezada

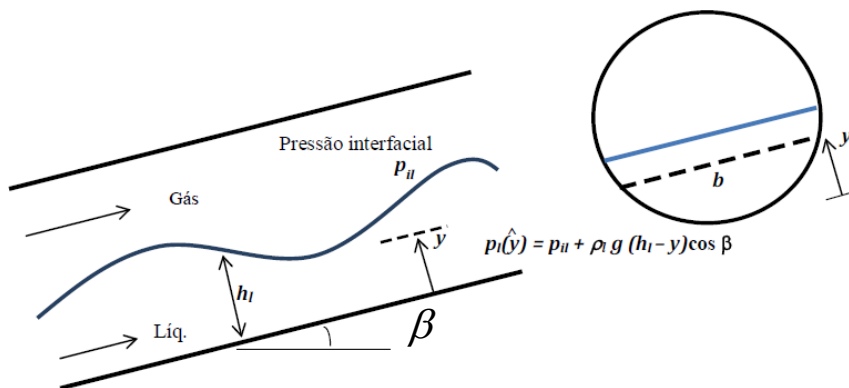
- **Salto de pressão** na interface:

- Tensão superficial: γ
 - Curvatura: κ
- $$(p_{ig} - p_{il}) = \gamma \kappa$$



Modelos de Fechamento

- **Diferença entre a pressão média em cada fase e pressão interfacial**
 - É possível demonstrar que, se a pressão média em cada fase for constante e igual a pressão interfacial, o modelo é mal-posto sob qualquer condição (exceto $u_l = u_g$)
 - Escoamento horizontal ou levemente inclinado: Banerjee e Chan (1980) propuseram a consideração de uma distribuição hidrostática de pressão



$$\frac{\partial \alpha_k (p_k - p_{kl})}{\partial x} = \alpha_k \rho_k g \cos \beta \frac{\partial h_l}{\partial x}$$

Modelos de Fechamento

- **Diferença entre a pressão média em cada fase e pressão interfacial**

- Escoamento vertical:
$$\frac{\partial \alpha_k (p_k - p_{kl})}{\partial x}$$

Reference	Formulation
Model 1 (Fowler and Lissester, 1992)	$\Delta P_{Li} = W_f \rho_L (U_L - U_{wave})^2$ $U_{wave} = X U_L, X=const.$
Model 2 (Gonzalez, Nieckele and Carneiro, 2016) (Berna et al., 2014)	$\Delta P_{Li} = W_f \rho_L (U_L - U_{wave})^2$ $U_{wave} = U_{wave}(U_{sL}, U_{sG}, \rho_L, \rho_G, \mu_L, \mu_G, \sigma)$
Model 3 (Bestion, 1990)	$\Delta P_{Gi} = \Delta P_{Li} = 1.2 \rho_m (U_L - U_G)^2$

Outros métodos de regularização

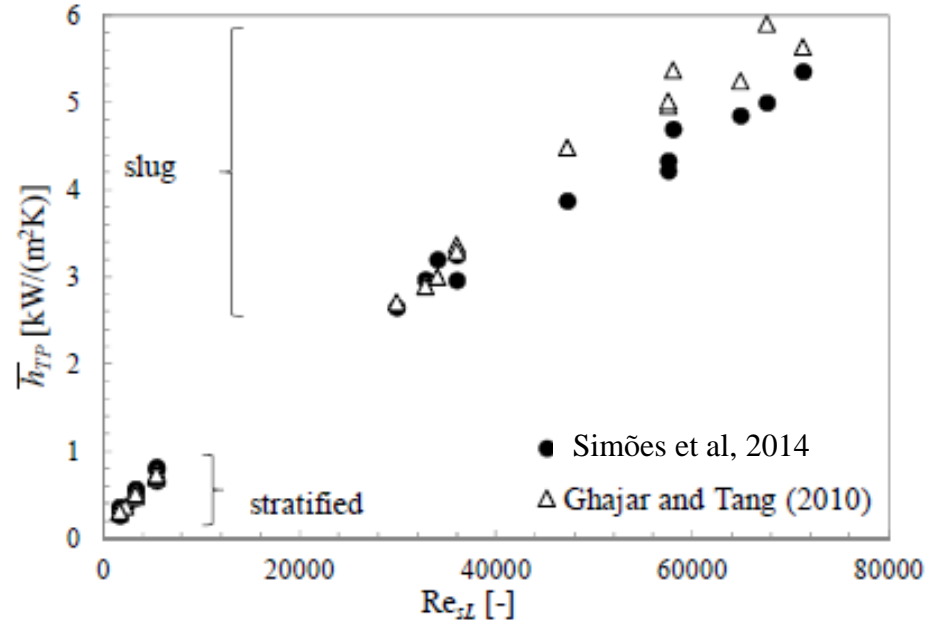
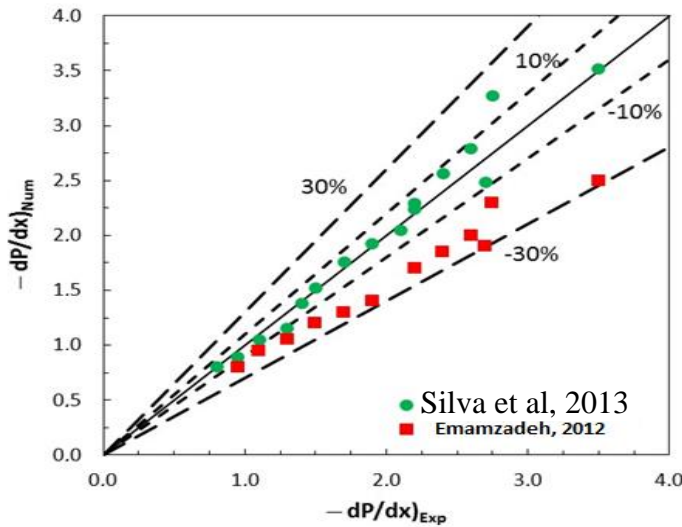
- Massa virtual
- Difusão Artificial
 - Equação de Quantidade de Movimento
 - Equação da Conservação de Massa

Escoamento em Horizontal

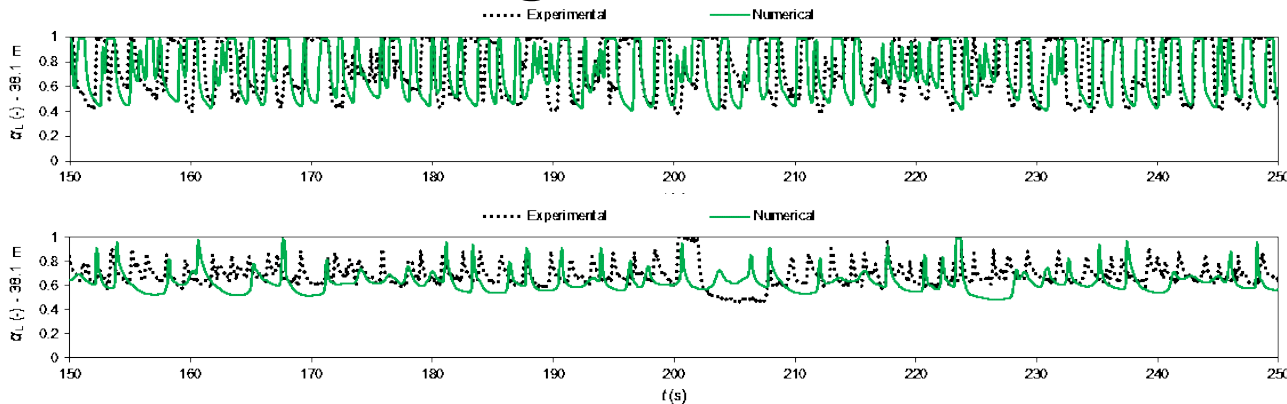
Água + ar

Anular

Estratificado e Golfada com troca térmica



Óleo viscoso + gás denso



Golfada

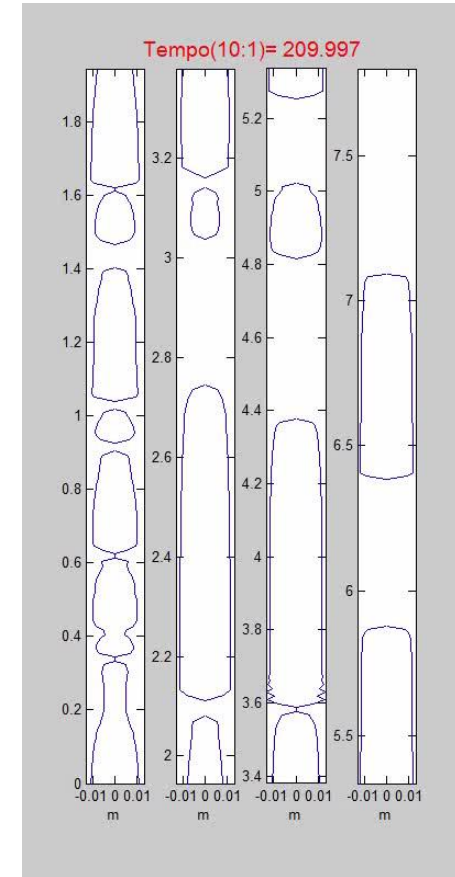
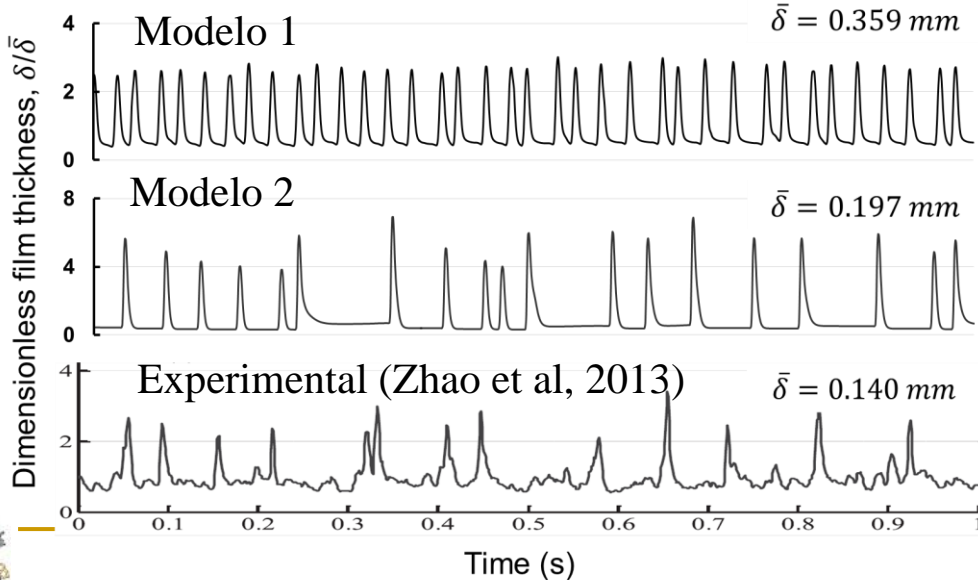
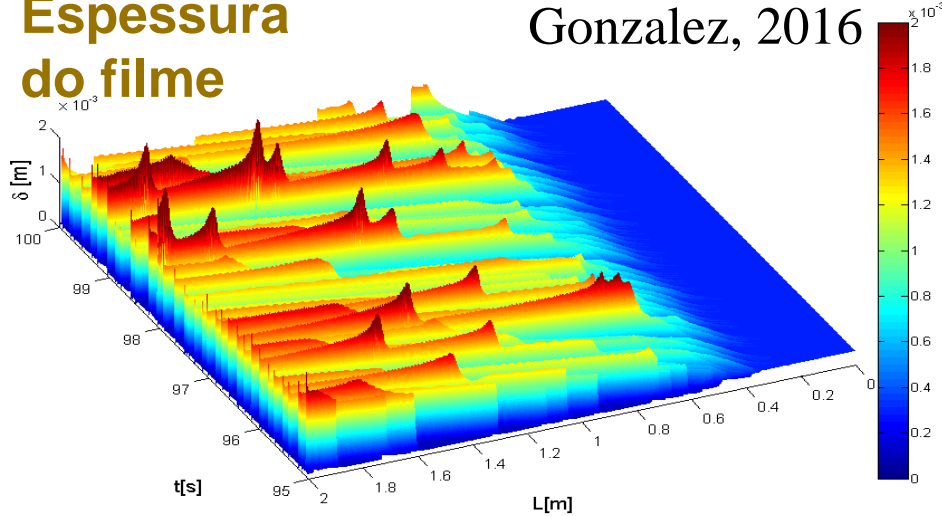
Ondulado

Escoamento Vertical Anular

Água + ar Golfada

Espessura do filme

Gonzalez, 2016



Inácio, 2012

Comentários Finais

- Diferentes tipos de modelos podem ser utilizados dependendo do tipo de aplicação
- Modelos de “um fluido”:
 - Apresentam uma demanda computacional maior
 - Envolvem um grau menor de hipóteses simplificadoras
 - É necessário determinar com precisão a posição da interface, raio de curvatura para obtenção de solução de qualidade

Comentários Finais

- Modelos baseados na equações médias:
 - são mais simples e de solução mais rápida.
 - Possuem diferentes graus de aproximação e necessitam de equações de fechamento para avaliar as iterações existentes nas interfaces
 - Fechamento 1D possui profundo efeito no caráter matemático das equações do Modelo de Dois Fluidos 1D
 - Se manifesta, por exemplo, na impossibilidade de se obter uma solução independente da malha
 - É preciso ter extremo cuidado: softwares comerciais frequentemente "mascaram" os efeitos de um modelo mal-posto pois malhas grosseiras são utilizadas

Obrigado !

Agradecimentos:

João N.E. Carneiro (Sintef do Brasil)

